

# یک روش نوین ترکیبی هوشمندانه مبادله جریان زنده ویدئویی در شبکه‌های نظری توری

نعمه فرهادیان، بهرنگ برکتین، مجید هارونی و بهزاد سلیمانی نیسیانی

جریان‌های زنده ویدئویی مانند پخش برنامه ورزشی زنده، مکالمه‌های تصویری و از این قبیل باعث شده تا متخصصین این حوزه به ارائه راهکارهایی در خصوص افزایش کیفیت ویدئویی در نظریها پردازنند. در تمامی راه حل‌هایی که برای ارسال جریان ویدئویی به صورت زنده پیشنهاد شده است، المان مقیاس‌پذیری دارای اهمیت فراوانی است. اتصال یک مشتری با سرور و آغاز یک جریان ویدئویی با کیفیت خوب و پهنای باند بالا، یک جلسه ویدئو نامیده می‌شود. بر اساس تحقیقات گذشته، برای مبادله جریان ویدئویی زنده با کیفیت بالا در یک جلسه کدینگ ویدئویی، نیاز به تحقق سه موضوع اساسی شامل: انتخاب ساختار مناسب کدینگ ویدئو، انتخاب یک بستر کارآمد برای اتصال کاربران به یکدیگر و وجود یک الگوریتم مناسب برای مبادله فریم‌های ویدئو بین کاربران در زمان قابل قبول می‌باشد. در ادامه به بررسی این سه موضوع می‌پردازیم.

## ۱- انتخاب ساختار مناسب کدینگ ویدئو

تحقیقات اخیر نشان داده که استاندارد AVC [۸] و نسخه‌های بعدی آن (مانند HEVC)، با بخش‌بندی یک فیلم ویدئویی به تعدادی فریم در قالب یک GoP<sup>۱</sup> ۱۲ یا ۱۶ فریمی، می‌تواند نه تنها در کاهش پهنای باند مصرفی مؤثر باشد، بلکه باعث افزایش کیفیت ویدئوی دریافتی در دریافت‌کننده‌ها شود. ولی با توجه به وابستگی بین فریم‌ها در دریافتی، کیفیت ویدئوی دریافتی به سادگی تحت تأثیر تأخیر دریافت فریم‌ها قرار می‌گیرد. برای مثال عدم دریافت فریم مرجع I می‌تواند باعث عدم نمایش کل آن GoP گردد. به همین دلیل، نیاز به وجود یک بستر ارتباطی مطمئن که بتواند فریم‌ها را در کمترین زمان ممکن و با حداقل تأخیر و استفاده از منابع به کاربران برساند، جزء لاینفک یک سیستم جریان‌سازی ویدئویی زنده است.

## ۲- انتخاب یک بستر کارآمد برای اتصال کاربران به یکدیگر

پخش زنده از جمله مسابقات ورزشی و مصاحبه‌های تلویزیونی، مستلزم بستری مناسب برای انتقال فریم‌های ویدئویی مورد نیاز گیرنده‌ها با کیفیت تصویری مناسب است [۹] و [۱۰]. تحقیقات اخیر نشان داده‌اند که ساختارهای معمول بین گره‌ها مانند سرویس‌دهنده- سرویس‌گیرنده و شبکه‌های تحويل محتوا، دارای نقاط ضعف آشکاری در برقراری ارتباط کم‌هزینه و کارا بین کاربران هستند. اگرچه پیاده‌سازی یک ساختار سرویس‌گیرنده- سرویس‌دهنده [۱۱] هزینه و زمان زیادی نمی‌خواهد، مقیاس‌نپذیری، نیاز به منابع زیاد و پرhzینه در صورت افزایش تعداد

چکیده: فقدان یک روش کارا برای مبادله فریم‌ها به علت تأخیر زیاد در روش Pull و تعداد بالای فریم‌های تکراری در روش Push، به عنوان دو روش اصلی مبادله محتوا بین نظریه‌ها، انگیزه‌ای قوی جهت معرفی روش‌های ترکیبی مبتنی بر این دو روش پایه جهت مبادله جریان زنده ویدئویی در شبکه‌های نظری به نظری توری بوده است. تحقیقات نشان داده که این روش‌ها از مشکلات ذاتی دو روش پایه رنج می‌برند، زیرا تنها تجمیعی ساده از اجرای متوالی یا موازی آنها هستند. این پژوهش به معروفی AMIN، یک روش نوین ترکیبی برای مبادله هوشمندانه فریم‌های ویدئو بین نظریه‌ها می‌پردازد. در روش AMIN، برخلاف روش Pull، هر نظری نقشه وضیعت حافظه (BMS) خود را به صورت دوره‌ای به نظریه‌های تا حد اکثر دو گام از خود می‌فرستند و نظری دریافت کننده BMS به جای درخواست فریم از فرستنده BMS، برسی می‌نماید خود چه فریم‌هایی را می‌تواند به سمت این نظری ارسال نماید. همچنین برخلاف روش Push، نظری ارسال کننده فریم به دلیل وجود BMS دریافتی از همسایه خود، ارسالی کورکورانه به آن نخواهد داشت. نتایج شبیه‌سازی نشان دهنده افزایش Push قبل ملاحظه کیفیت ویدئوی دریافتی در نظریه‌ها، کاهش تأخیر نقطه به نقطه، تأخیر دریافت و تعداد فریم‌های تکراری نسبت به دو روش پایه و مشابه اخیر است.

**کلیدواژه:** جریان زنده ویدئویی، شبکه نظری به نظری توری، Push.

## ۱- مقدمه

ترافیک ویدئویی زنده در سال‌های اخیر به عنوان یکی از جذاب‌ترین انواع ترافیک روحی بستر اینترنت مطرح بوده و هم‌اکنون در بسیاری از شبکه‌های اجتماعی مطرح می‌باشد. در این راستا، شبکه‌های نظری به نظری P2P [۱] نیز به عنوان بستری مناسب جهت مبادله این نوع ترافیک روی اینترنت [۲] تا [۴] و شبکه‌های بی‌سیم [۵] و [۶]، مطرح شده‌اند. بنابراین در سال‌های اخیر اهمیت و ضرورت استفاده از روش‌های کارآمد برای مبادله جریان‌های زنده ویدئویی بسیار موردن توجه قرار گرفته است [۷]. علاقه وافر کاربران اینترنت بالاخص گوشی‌های هوشمند به مبادله

این مقاله در تاریخ ۲۰ اردیبهشت ماه ۱۳۹۸ دریافت و در تاریخ ۱۱ آبان ماه ۱۳۹۹ بازنگری شد.

نعمه فرهادیان، گروه مهندسی کامپیوتر، واحد دولت‌آباد، دانشگاه آزاد اسلامی، اصفهان، ایران، (email: naghmehfarhadian@yahoo.com)، بهرنگ برکتین، دانشکده مهندسی کامپیوتر، واحد نجف‌آباد، دانشگاه آزاد اسلامی، نجف‌آباد، ایران، (email: behrang\_barekatain@iaun.ac.ir)، مجید هارونی، گروه مهندسی کامپیوتر، واحد دولت‌آباد، دانشگاه آزاد اسلامی، اصفهان، ایران، (email: majid.harouni@gmail.com)، بهزاد سلیمانی نیسیانی، گروه مهندسی کامپیوتر، واحد خوارسگان، دانشگاه آزاد اسلامی، اصفهان، ایران، (email: b.soleimani@khuisf.ac.ir).

1. Peer-to-Peer

انتخاب نظریه بعدی، تأخیر در این الگوریتم بسیار کم و مطلوب ارسال جریان‌های زنده ویدئویی است، اما به دلیل وجود مسئله اتصال و ترک (Churning) متناوب شبکه توسط نظریه‌ها، امکان افزایش درخت به چند زیردرخت وجود دارد. این مشکل نه تنها می‌تواند باعث افت شدید کیفیت ویدئوی دریافت شود، بلکه هزینه بالایی را برای اتصال مجدد درخت‌های افزایشده به یکدیگر به شبکه تحمیل می‌کند. همچنین می‌تواند باعث بروز مشکل عدم سازگاری در زمان پخش جریان زنده ویدئو بین نظریه‌هایی که از دو زیردرخت مجزا به یکدیگر متصل شده‌اند، شود [۲۰]. از دیگر مشکلات این نوع روش ارسال، افزایش تأخیر دریافت در نظریه‌ای فرزند در صورت افزایش تعداد آنها است. به عبارتی، پهنهای باند محدود نظری پدر باید بین تعداد بیشتری نظری فرزند تقسیم شود که این باعث افزایش تأخیر دریافت فریم‌ها در فرزندان خواهد شد. مزیت اصلی Push، کاهش پیچیدگی بررسی درخواست کاربر می‌باشد، حال آن که مدت زمان مورد نیاز برای بارگذاری کل فایل ممکن است در برخی موارد بسیار زیاد شود. همچنین، درگیرشدن یک سرور برای پاسخگویی به مدت زیاد، ممکن است سبب عدم پاسخگویی به سایر درخواست‌ها گردد [۹] و [۲۳]. برخلاف ساختار درختی، بروز Churning در ساختار توری مشکل چندانی را ایجاد نمی‌کند، زیرا هر نظری توسط چندین همسایه به گراف شبکه متصل است. به همین دلیل، اکثر شبکه‌های نظری به نظری پیاده‌سازی شده از ساختار توری استفاده می‌نمایند [۷] و [۱۵]. اما نکته قابل توجه در ساختار توری این است که در صورت استفاده از الگوریتم Push برای مبادله اطلاعات، تعداد فریم‌هایی تکراری در نزد هر نظری به شدت افزایش می‌یابد. دلیل این امر واضح است. هر نظری از همه نظریه‌های همسایه‌اش Push قابلیت دریافت جریان ویدئو را دارد. همچنین، استفاده از الگوریتم Push در ساختار توری باعث استفاده غیر بهینه از پهنهای باند آبلود محدود نظریها خواهد شد. به همین جهت، در ساختار توری از الگوریتم واکنش<sup>۳</sup> برای مبادله اطلاعات استفاده می‌شود. در الگوریتم Pull، مصرف کننده بر اساس تقاضای مشخص خود، به محتوای فایل دسترسی دارد. مزیت این الگوریتم، احتمال بالای همپوشانی میان درخواست‌های کاربران برای دریافت فریم می‌باشد [۷] و [۲۳]. در واقع در این الگوریتم، هر نظری وضعیت نقشه حافظه<sup>۴</sup> (BMS) خود را در خصوص وجود یا عدم وجود فریم‌ها در آن، به همسایگانش ارسال می‌کند. هر نظری همسایه، پس از بررسی و مقایسه BMS ارسالی با وضعیت حافظه خود، درخواست ارسال آن فریم‌هایی را که در حافظه خودش وجود ندارد به ارسال کننده BMS می‌دهد. آن نظری هم به نوبت درخواست‌های رسیده از همسایگانش را پاسخ داده و فریم‌های درخواستی آنها را ارسال می‌نماید. برخلاف روش پیشنهادی این مقاله، Pull یک روش سه مرحله‌ای است. هرچند استفاده از الگوریتم Pull باعث کاهش شدید فریم‌های تکراری خواهد شد، ولی افزایش تأخیر دریافت را به دلیل همین سه مرحله‌ای بودن و بحث وابستگی بین فریم‌ها به دنبال دارد که این خود برای کیفیت یک جریان زنده ویدئویی بسیار مشکل ساز می‌باشد. به علاوه این تأخیر می‌تواند به طرز چشم‌گیری در اتفاق پهنهای باند مصرفی تأثیرگذار باشد، زیرا برای مثال یک نظری به دلیل دیررسیدن یک فریم و وابستگی بین آنها، نمی‌تواند آن را حتی در صورت سالم‌رسیدن در فرایند بازپخش<sup>۵</sup> خود قرار دهد.

3. Pull

4. Buffer Map Status

5. Playback

تقاضا، هدررفت منابع در صورت عدم وجود تقاضا و افزایش چشم‌گیر تأخیر برای کاربران راه دور، از جمله معایبی هستند که استفاده از این نوع شبکه‌ها را برای جریان‌سازی ویدئویی زنده کمرنگ می‌کند. نمونه توسعه‌یافته مدل سرویس گیرنده- سرویس دهنده، شبکه‌های تحویل محتوا (CDN) [۱۲] هستند. سرور منبع ویدئویی، ابتدا محتوای ویدئو را ذخیره می‌کند و سپس تعدادی سرور ارسال محتوا با سیاستی از قبل تعیین شده، در شبکه قرار می‌گیرند. از این به بعد مشتری‌ها به جای دانلود ویدئو از سرور منبع ویدئو، به سروهای دیگر ارجاع داده می‌شوند. اگرچه مدل CDN به طور نسبتاً مناسب تأخیر زمان دریافت فریم در گیرنده‌ها را کم می‌کند و باعث کاهش ترافیک روی شبکه می‌شود، ولی از دو مشکل اساسی رنج می‌برد. اول این که همسان‌سازی سروهای مختلف که در لبه شبکه قرار گرفته‌اند، یک فرایند پیچیده و پرهزینه است. همچنین ساختار سرویس گیرنده- سرویس دهنده در نهایت از بین نرفته و کاربران به همین طریق از سرور منتخب خود اطلاعات را دریافت خواهند کرد [۱۳]. برخلاف دو مدل فوق، مدل نظری به نظری، یک فرایند تقسیم کار میان مشتری و سرور به تناسب توانایی آنها را دنبال می‌کند. در یک شبکه نظری به نظری، یک گره نه تنها داده‌هایی را از اینترنت یا نظریه‌های مجاور دانلود می‌نماید، بلکه داده‌های دانلودشده را برای کاربران دیگر نیز بارگذاری می‌کند [۱۴]. به عبارتی، شبکه‌های نظری به نظری به عنوان راه حل کارا برای جریان‌سازی ویدئو مطرح شده‌اند [۷] و [۱۵] تا [۱۸]. رویکرد متفاوت این شبکه‌ها در برخورد با ترافیک موجود و نیز تقسیم حجم پردازش مربوط به ارسال داده، سبب استفاده روزافزون از این تکنولوژی شده است. در یک شبکه نظری به نظری، نظریه‌ها به دو صورت درختی یا توری<sup>۶</sup> به یکدیگر متصل شده و به مبادله اطلاعات می‌پردازند [۱۹]. در واقع هر نظری نقش دریافت‌کننده، ارسال‌کننده و مسیریاب را به عهده دارد. تحقیقات اخیر نشان داده‌اند ساختار توری مناسب مبادله جریان ویدئوی زنده بوده و مشکل وابستگی بین فریم‌ها را تا حدی رفع می‌کند، ولی مشکلی که در این نوع شبکه وجود دارد تأخیر مبادله اطلاعات می‌باشد که عامل بسیار مهم در کاهش کیفیت جریان ویدئو است. اما سؤال آخری که قابل طرح می‌باشد این است که آیا داشتن یک ساختار مناسب فریم‌بندی و بستر شبکه، به تنها برای فراهم‌آوردن کیفیت بالای ویدئو کافی است؟ در بخش بعدی به بررسی پاسخ این سؤال می‌پردازیم.

### ۱-۳ الگوریتم مناسب مبادله فریم‌های ویدئو بین کاربران

در کنار داشتن روش فشرده‌سازی و بستر مناسب، وجود یک روش بهینه مبادله اطلاعات در جریان‌سازی ویدئویی زنده از اهمیت بالای برخوردار است [۱۵] و [۲۰] تا [۲۲]. نظریه‌ها باید فریم‌ها را در موعد مقرر دریافت نمایند، و گرنه حتی دریافت سالم آنها سودی به همراه نداشته و فریم قابل پخش نخواهد بود. دو روش پایه و اصلی برای مبادله فریم‌ها در شبکه‌های نظری به نظری وجود دارد. در روش اول، نظریه‌ها در یک ساختار درختی اطلاعات را از نظری پدر خود دریافت و بلافضله بدون در نظر گرفتن وضعیت حافظه فرزند، فریم را به سمت آن ارسال می‌کنند (الگوریتم Push). به کارگیری این تکنیک ارسال در یک ساختار درختی، به دلیل عدم وجود حلقه، باعث بروز مشکل دریافت فریم‌های تکراری نخواهد شد. همچنین هرچند با توجه به عدم نیاز به تصمیم‌گیری برای

1. Content Delivery Network

2. Mesh

فریم I که به عنوان فریم مرجع مطرح و مهم‌ترین فریم در هر GoP می‌باشد، معمولاً دارای بیشترین حجم اطلاعات است. این فریم بدون نیاز به سایر فریم‌ها در هر گیرنده قابل بازگشایی و بازپخش شدن می‌باشد. فریم P دومین فریم مهمی است که بازگشایی شدن آن وابسته به دریافت صحیح فریم‌های P یا I قابلی می‌باشد. فریم‌های B در صورتی که قابل پخش شدن هستند که فریم‌های I/P قبل یا بعد از آنها به درستی دریافت و بازگشایی شده باشند. به این رابطه‌ها، وابستگی فریم می‌گویند. به طور خلاصه، یک گیرنده در صورت دریافت فریم I می‌تواند کل GoP را پخش کند، ولی با دریافت فریم‌های P و B کیفیت ویدئوی دریافتی افزایش خواهد یافت [۸] و [۲۴]. بدین صورت فرستنده قادر خواهد بود تا حداقل کیفیت ویدئوی مورد نظر گیرنده‌ها را تا حدی تأمین نماید. در اینجا تحقق دو خواسته مهم است. اول رسیدن همین فریم I که مستلزم داشتن بستری مناسب در بین دریافت‌کنندگان است و دوم این که کاربران دریافت‌کننده جریان ویدئو، به این کیفیت راضی نخواهند بود. این یعنی سایر فریم‌های GoP نیز باید در زمان مقتضی (قبل از بازبخش) به گیرنده برستند. بنابراین در کنار داشتن یک روش مناسب فریم‌بندی و فشرده‌سازی تصاویر، نیاز به بستر و روش مبادله کارآمد بین دریافت‌کنندگان نیز وجود دارد.

### ۳- تحقیقات مرتبه

همان گونه که عنوان شد، برای داشتن کیفیت مناسب و بالای ویدئو در گیرنده‌ها، نیاز به تحقق ۳ نیاز اصلی است. بر اساس مباحثه گفته شده، نیازهای اول و دوم توسط روش‌های مناسب فشرده‌سازی و کدگذاری فریم‌ها و همچنین بسترها نظری به نظری توری شکل تا حد زیادی فراهم شده است. ولی در کنار این دو مورد، نیاز به داشتن یک الگوریتم مؤثر مبادله محتوا بسیار ضروری به نظر می‌رسد. به همین دلیل محققان مختلفی تلاش کرده‌اند تا در این زمینه راه حل‌های متفاوتی را مبتنی بر دو روش پایه Push و Pull ارائه دهند که در این بخش از مقاله به بررسی کارهای انجام‌شده در این حوزه می‌پردازیم. در ادامه به بررسی مشکلات روش‌های پایه Push و Pull می‌پردازیم [۷]، [۱۵] و [۲۰].

استفاده از الگوریتم Push در شبکه‌های توری نظری به نظری، باعث افزایش بسیار زیاد فریم‌های تکراری در هر نظری می‌شود. این مشکل، پنهانی باند محدود و ارزشمند نظریها را چه در بخش آپلود فرستنده و چه در بخش دانلود گیرنده، هدر می‌دهد. الگوریتم Push تنها در ساختار درختی مقدار تأخیر نقطه به نقطه را کاهش می‌دهد. ولی همان گونه که ذکر شد، ساختار درختی به دلیل عدم مشارکت نظریهای برگ در مبادله اطلاعات و آسیب‌های ناشی از افزایش درخت بر اثر Churn، مناسب ارسال Push محتواهای حساس به تأخیر مانند ویدئو نمی‌باشد. استفاده از روش Push در ساختار توری نیز باعث افزایش شدید تأخیر نقطه به نقطه به دلیل پرشدن پنهانی باند از فریم‌های تکراری شده و اگر پنهانی باند بین فرزنده و پدر کم باشد، کیفیت ویدئو در گره‌های سطح پایین‌تر به شدت کاهش خواهد یافت. استفاده از الگوریتم Pull در ساختار توری باعث افزایش قابل توجه می‌زان تأخیر نقطه به نقطه می‌شود و نیاز به حافظه‌های جیجیم جهت نگهداری بسته‌های خارج از ترتیب دریافت شده دارد. این مشکل برای ترافیک‌های حساس به تأخیر مانند ویدئو زنده به هیچ وجه مناسب نیست. بر این اساس، محققان تلاش کرده‌اند روش‌های ترکیبی جدید مبتنی بر این دو روش پایه ارائه کنند که آنها را می‌توان به صورت زیر دسته‌بندی نمود:

PR/PE (Push Rarest/Pull Emergency) \*



شکل ۱: یک GOP ۱۲ فریمی شامل دو فریم B در بین فریم‌های I و P.

اگرچه تحقیقات اخیر تلاش داشته‌اند تا با ترکیب این دو روش پایه تأثیرات منفی هر یک را در شبکه‌های توری کاهش دهند، ولی به دلیل این که رفتار الگوریتم‌های پیشنهادشده در واقع تجمعی ساده از دو الگوریتم پایه Push و Pull بوده است، همچنان مشکلات ذاتی ناشی از آنها در الگوریتم‌های ترکیبی پیشنهادشده وجود دارند. در مجموع، نظر به این که فشرده‌سازی جریان ویدئو و استفاده از ساختار توری برای مبادله جریان زنده ویدئویی مناسب به نظر می‌رسند، این تحقیق برای محقق‌شدن بهتر خواسته سوم، به ارائه یک روش نوین ترکیبی مبتنی بر دو الگوریتم پایه Push و Pull با در نظر گرفتن مزایای آنها پرداخته و تلاش دارد مزایب آنها را در قالب یک ترکیب نوین هوشمندانه (نه تجمیع) رفع کند و کیفیت ویدئوی مناسبی را برای نظریها در یک شبکه نظری به نظری توری غیر ساختیافته<sup>۱</sup> فراهم آوردد. در روش پیشنهادی (AMIN)، نه تنها فریم‌های تکراری ناشی از ارسال کورکرانه اطلاعات بین نظریها در روش Push وجود ندارد، بلکه با کاهش مبادله سه مرحله‌ای روش Pull به دو مرحله، شاهد کاهش تأخیر مبادله فریم‌ها و در نتیجه به موقع رسیدن آنها در گیرنده‌ها هستیم. نتایج حاصل از الگوریتم این روش، افزایش کیفیت ویدئوی دریافتی ضمن حفظ یا کاهش هم‌زمان تأخیر دریافت، تأخیر نقطه به نقطه و همچنین تعداد فریم‌های تکراری مبادله شده بین نظریها، نسبت به سایر روش‌ها است.

ساختار این مقاله در ادامه بدین صورت است: در بخش ۲ در خصوص روش فشرده‌سازی ویدئوی استاندارد H.264 مختصی بیان خواهد شد. سپس کارهای مرتبه و روش پیشنهادی به ترتیب در بخش‌های ۳ و ۴ بیان خواهد شد. شبیه‌سازی روش در بخش ۵ آمده و مقاله در بخش ۶ نتیجه‌گیری می‌شود.

### H.۲۶۴- استاندارد فشرده‌سازی

اوایل دهه ۱۹۹۰ و با پیشرفت اینترنت و همگانی شدن آن، انتقال ویدئو در شبکه‌های مبتنی بر سوئیچ، مورد توجه کاربران قرار گرفت. اما با توجه به این که سرویس‌های شبکه اینترنت که اصطلاحاً سرویس بهترین حالت اطلاق می‌شود، تضمینی در مورد پنهانی باند، تأخیر شبکه و نرخ خط‌نارازی و مقداری این پارامترها در این سرویس متغیر، پویا و نامشخص است، مشکلات زیادی در این حوزه وجود دارد. روش سنتی ارسال ۲۴ یا ۳۰ تصویر از یک صفحه و پخش آنها در یک ثانیه جهت ایجاد نمایش ویدئو از آن صحنه، به دلیل بالابودن حجم فریم‌های ویدئو در چنین حالتی منسخ شده است. تحقیقات اخیر نشان داده که ساختار H.264/AVC [۸] و نسخه‌های بعدی آن با بخش‌بندی یک فیلم ویدئویی به تعدادی فریم در قالب یک GoP ۱۲ یا ۱۶ فریمی، می‌تواند نه تنها در کاهش پنهانی باند مصرفی مؤثر باشد، بلکه باعث افزایش کیفیت ویدئوی دریافتی در دریافت‌کنندگان شود. شکل ۱ ساختار یک GoP شامل ۱۲ فریم را نشان می‌دهد. این استاندارد توسط گروه تخصصی کدینگ ویدئو ISO-IEC ITU-T به وجود آمد. در این ساختار سه نوع فریم، I، P و B مشاهده می‌شود.

خاصی را به شبکه تحمیل نمی‌کند ولی مهم‌ترین ایراد آن، عملکرد غیر هوشمندانه آن در خصوص انجام عملیات Push و Pull می‌باشد. زیرا ممکن است یک ناظیر در یک بازه زمانی مربوط به Pull نیاز به انجام Push به همسایگانش داشته باشد و بالعکس و یا برای مثال در بازه زمانی، Push مربوط به هیچ فریم جدیدی برای ارسال نداشته باشد. همچنین، این روش نیز همانند دو روش قبلی، مشکلات ذاتی روش‌های پایه را در بر دارد.

### ۳-۳ روش PI/PS

چهارمین روشی که ناظیرها می‌توانند از آن برای مبادله فریم‌ها استفاده نمایند، روش PI/PS است. ناظیرها در ابتدای ورود به شبکه، تلاش می‌کنند تا با الگوریتم Pull از یک ناظیر شریک، بخشی از فریم‌های اولیه مورد نیاز خود در زمان حافظه ابتدایی را ذخیره کنند. سپس با انتساب جریان Push از آن شریک به خود، سایر فریم‌های مورد نیازشان را دریافت نمایند. این روش برای سایر ناظیرهایی که تازه به شبکه متصل می‌شوند نیز ادامه می‌یابد. به عبارتی، هر ناظیر در ابتدای ورود، حافظه اولیه خود را با الگوریتم Pull پر نموده و سپس همسایگانش با انتساب جریان‌های Push به آن، سعی در تأمین فریم‌های مورد نیازش داردند [۳۰] [۳۱]. یافتن و انتساب جریان‌های Push، یکی از معایب این روش است که باعث افزایش پیچیدگی محاسباتی شبکه خواهد شد. همچنین این روش از معایب ذاتی دو روش پایه در هنگام استفاده مجزا از آنها رنج می‌برد. از جمله روش‌هایی که از این نوع مبادله داده استفاده می‌کنند، می‌توان به PPM [۳۱] اشاره نمود. هر ناظیر در صورتی که زمان پخش یک فریم از دو برابر زمان<sup>۳</sup> RTT کمتر باشد، از الگوریتم Pull و در غیر این صورت، از الگوریتم Push برای دریافت فریم‌ها استفاده می‌نماید.

### ۴-۳ سایر روش‌های ترکیبی ارائه شده

به جز روش‌های فوق که همگی تجمیعی صرف از دو روش پایه بوده‌اند، روش‌های دیگری نیز برای مبادله مؤثرتر اطلاعات بین ناظیرها ارائه شده که به شرح آنها می‌پردازیم (هرچند این تحقیقات نیز ترکیب مؤثری را از روش‌های پایه ارائه ننموده‌اند). الساندو و همکارانش [۳۲]، روشی را ارائه نموده‌اند که در آن ناظیر می‌تواند به صورت دلخواه از هر یک از روش‌های پایه برای همگام‌سازی خود با ناظیرهای همسایه، هنگام پخش جریان زنده ویدئو استفاده کند. سپس ناظیر ارزیابی می‌کند آیا ترتیب استفاده از Push و Pull برایش مفید بوده است یا خیر. در صورت عدم رضایت، ترتیب استفاده از دو روش را عوض می‌نماید. در تحقیقی دیگر، ناظیرهایی که پایداری بیشتری در شبکه داشته‌اند، در یک ساختار درختی با الگوریتم Push مبادله اطلاعات کرده و سایر ناظیرها در ساختار توری با الگوریتم Pull فریم‌ها را مبادله می‌کنند [۲۳]. در روش ارائه شده توسط [۳۴]، ناظیرها در قالب ساختارهای زیردرخت، فریم‌های ویدئوی زنده را با الگوریتم Push ارسال می‌نمایند. الگوریتم Pull جهت بهینه کردن ارتباط بین ناظیرها در زیردرخت‌های مختلف استفاده می‌شود تا کمبود فریم‌هایی که ناظیرهای بالاتر در یک زیردرخت ندارند، جبران شود. در روش ارائه شده توسط لی و همکاران [۳۵]، ضمن تأکید بر کارایی بیشتر روش‌های ترکیبی مبتنی بر Push و Pull، تلاش شده تا یک روش مناسب جهت ایجاد تعادل بین سربار ترافیکی و گزندگی سیستم ارائه شود. سربار ترافیکی ایجاد شده عمدتاً به علت مبادله فریم‌های تکراری



شکل ۲: ساختار حافظه محلی یک ناظیر بر اساس روش PR/PE

- PEO/POE (Push in Even/Odd and Pull in Odd/Even slot)

- PI/PS (Pull Initial-frames/Push Substreams)

- سایر روش‌های ترکیبی ارائه شده

### ۱-۳ روش PR/PE

در این روش همه ناظیرها فریم‌ها را به روش Push بین خود مبادله می‌کنند و اگر ناظیری نتواند فریم مورد نظر خود که نزدیک به پخش است را در حافظه خود پیدا کند، از طریق الگوریتم Pull به جستجوی آن در همسایگان خود می‌پردازد [۲۵]. به این فریم‌ها، فریم‌های اضطراری می‌گویند. روش TreeClimber [۲۶] نیز از همین اصول پیروی می‌کند. به عبارتی ناظیرها در یک ساختار رویین، با استفاده از الگوریتم Pull فریم‌هایی را که مهلت پخش آنها نزدیک است درخواست و سایر فریم‌ها را Push می‌کنند. اگرچه این روش تلاش دارد تا با استفاده از الگوریتم Push میزان تأخیر نقطه به نقطه و با استفاده از الگوریتم Pull میزان کیفیت ویدئو را تا حدی افزایش دهد، ولی مشکلات ذاتی هر دو روش همچنان در این روش ترکیبی باقی مانده‌اند. به عبارتی، این روش تجمیعی از اجرای پشت سر هم دو روش پایه است که باعث می‌شود در هر مرحله از اجرای هر یک، مشکلات ذاتی آن روز بروز نماید. اجرای Push و Pull در این دسته از روش‌ها بر پایه فاصله نقطه بازپخش و نقطه اطمینان<sup>۴</sup> می‌باشد. شکل ۲ ساختار حافظه یک ناظیر را برای این دو نقطه نشان می‌دهد. ناحیه سبز ناحیه بازپخش، آبی رنگ ناحیه اطمینان، قرمزرنگ فریم‌های پخش شده و رنگ بنفش فریم‌هایی را نشان می‌دهد که در آینده مورد نیاز هستند، ولی داشتن آنها در حال حاضر ضروری ندارد.

در روش مشابه روش ارائه شده در [۷]، ابتدا هر ناظیر بخش‌های ویدئوی دریافتی از منبع را به سایرین Push می‌کند، سپس ناظیرها در یک پروسه Pull، سعی در به دست آوردن فریم‌هایی دارند که در حافظه‌شان وجود ندارند. در روش مشابه، هر ناظیر به روش Pull فریم‌های اضطراری مورد نظر خود را از دیگران در یک ساختار توری دریافت می‌کند، ولی این ناظیر می‌تواند در قالب یک ساختار درختی تشکیل شده بر روی ساختار توری موجود، فریم‌هایی را که از نظر میزان تکرار در حافظه همسایگانش کم هستند به روش Push ارسال نماید [۲۷]. روش ارائه شده تحت نام mTreebone [۲۸] نیز از همین روش برای مبادله اطلاعات استفاده می‌نماید. در این روش، همه ناظیرها در قالب یک ساختار توری عضو می‌شوند و سپس ناظیرهایی که از نظر میزان پایداری در شبکه مدت زمان بیشتری را سپری کرده باشند، تشکیل درخت خواهند داد.

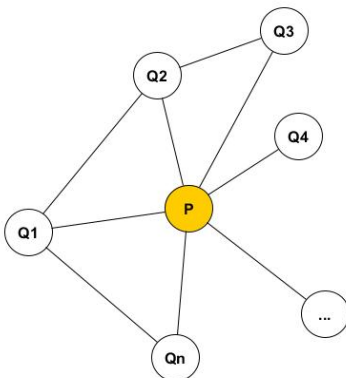
### ۲-۳ روش PEO/POE

در این روش، هر ناظیر دارای بازه‌های زمانی یکسانی است. ناظیر می‌تواند در بازه زمانی زوج/فرد عمل Pull و در بازه زمانی فرد/زوج عمل Push را انجام دهد [۲۹]. حسن این روش سادگی آن است که پیچیدگی

است تحت تأثیر قرار می‌دهد، باز هم اجرای جدگانه دو روش پایه معایب ذاتی آنها را در بر دارد، روش کدینگ تصادفی استفاده شده در این شبکه برای کدکردن و ارسال مجدد بسته‌ها در نظریهای هزینه و سربار اجرایی بسیار زیادی را به شبکه تحمیل می‌کند. لازم به ذکر است در صورت استفاده از روش کدینگ شبکه معرفی شده توسط برکتین و همکارانش به نام MATIN [۱۷]، این مشکل به سادگی قابل رفع است. رونقی [۴۱] یک روش ترکیبی مبتنی بر دو روش پایه برای مبادله جریان زنده ویدئویی در شبکه نظری به نظری ارائه داده است. هدف اصلی این تحقیق کاهش میزان تأخیر نقطه به نقطه نسبت به روش Pull است. لی و همکاران در [۴۲] نیز روشی مشابه ارائه نموده‌اند. اولیورا و همکاران در تحقیق انجام شده در [۱۴] تمرکز خود را بر روی نظریهای خودخواه گذاشته‌اند. به عبارتی آنها تأثیر رفتاری این نظریهای بر روی کیفیت ویدئوی دریافتی را هنگامی که از روش ترکیبی Push/Pull استفاده می‌شود مورد ارزیابی قرار داده‌اند. در تحقیق انجام شده توسط شاه‌جاذب‌انی و همکاران [۲۰]، یک مکانیزم تطبیق‌پذیر برای کاهش میزان سربار ناشی از نگهداری فریم‌ها در حافظه مبتنی بر روش Pull ارائه شده است. در این روش هر نظری همراه با BMS ارسالی خود، آخرین فریم دریافتی خود را نیز به همسایگانش ارسال می‌کند. سپس هر همسایه بر اساس این اطلاعات آن مقدار فریم را در BMS ارسالی بعدی خود به آن نظری ارسال می‌نماید که حدس می‌زند آن نظری می‌تواند در بازه زمانی مبادله تا BMS بعدی دانلود کند. اخیراً هدی آیت‌الله و همکاران [۴۳]، یک روش ترکیبی Push/Pull برای جریان‌سازی ویدئو در شبکه‌های نظری به نظری ارسالی در تحقیقی Push/Pull به همه نظریهای ارسال می‌شود. این لایه، لایه‌ای است که هر نظری با دریافت آن می‌تواند حداقل کیفیت ویدئوی لازم را برای کاربر خویش فراهم آورد. سپس نظریهای در یک روند مشخص با استفاده از زمان‌بند Pull اقدام به دریافت لایه‌های افزایشی جریان ویدئو می‌نمایند تا بتوانند کیفیت بالاتری را برای کاربر فراهم کنند. همچنین آنها از روش کدینگ شبکه برای افزایش گذردهی شبکه با کدکردن فریم‌ها در حافظه نظریهای استفاده نموده‌اند. روش مورد استفاده آنها RNC می‌باشد که به نوبه خود سربار اجرایی سنتگینی را به نظریهای تحمیل می‌کند. ساختار ویدئویی مورد استفاده نیز –۴ MPEG با GoP دوازده‌فریمی بوده است. نتایج حاصل از شبیه‌سازی با OMENT++ دریافتی، تأخیر دریافت فریم‌ها و گذردهی شبکه در مقایسه با RNC بهبود یافته است. این روش نیز تجمیعی از اجرای همزمان دو روش پایه است. ضمن این که عمل Push در ساختار توری به انجام می‌رسد که باعث ازدیاد قابل توجه بسته‌های تکراری در نظریهای می‌گردد. هرچند نویسنده تلاش نموده تا با استفاده از روش RNC این معضل را تا حدی به یک مزیت تبدیل نموده و میزان تنوع بسته‌ها را افزایش دهد، ولی سربار ناشی از این عمل که مورد سنجش این مقاله قرار نگرفته است بسیار قابل توجه می‌باشد. در پایان لازم به ذکر است کارهای مرتبط محدود دیگری نیز در برخی مجله‌ها و کنفرانس‌های دیگر پیشنهاد شده‌اند که به دلیل نزدیکی بسیار زیاد آنها به روش‌های مورد بررسی قرار گرفته، در این بخش از ذکر آنها خودداری می‌کنیم.

اگر به توضیحات آمده در این بخش دقت شود، تمامی روش‌های معرفی شده تا کنون، علی‌رغم این که توانسته‌اند بهمود نسبی در کیفیت ویدئویی دریافتی ایجاد کنند، ولی صرفاً اجرای سربار یا موازی از دو روش

زیاد بین نظریهای می‌باشد. در روش PALM ارائه شده توسط هونگ و همکارش، از یک روش تشویقی مبتنی بر امتیاز جهت کاهش تأخیر، افزایش ادامه‌سازی جریان و میزان همکاری نظریهای خودخواه در شبکه می‌شود. در این روش نظریهای در یک ساختار اطلاعات بین خود می‌پردازند. یکی از اولین روش‌های مبادله فریم در شبکه‌های نظری به نظری توسط سیستم CoolStreaming [۳۶]، به مبادله اطلاعات بین خود نظری فریم‌ها را از نظری مستعدی که دارای بیشترین پهتای باند باشد درخواست می‌کند. بعدها در نسخه جدید این سیستم به نام New CoolStreaming [۳۸]، دو عیب روش قبل، یعنی تأخیر بالای ناشی از استفاده از الگوریتم Pull و زمان شروع به ارسال زیاد شبکه به علت حافظه کردن اولیه فریم‌ها، بهبود یافت. در روش ارائه شده توسط لی و همکاران [۳۵] به نام LStreaming، ضمن تأکید بر کارایی بیشتر روش‌های ترکیبی مبتنی بر Push و Pull، تلاش شده تا یک روش مناسب جهت ایجاد تعادل بین سربار ترافیکی و گذردهی سیستم ارائه شود. کوئنگ و همکاران در تحقیق دیگر، با ارائه یک روش ترکیبی مبتنی بر دو روش پایه، تلاش در بهینه کردن الگوریتم Push با اعمال یک روش آگاهانه در ارسال فریم‌ها به نظریهای همسایه نموده‌اند [۳۹]. ترن و همکاران، روشی ترکیبی به نام Mobilecast را برای مبادله فریم‌های جریان زنده ویدئویی بر روی شبکه بی‌سیم ارائه نموده‌اند [۷]. در تحقیقی دیگر که توسعه کیم و همکاران برای مبادله جریان بر حسب تقاضای ویدئو (VoD) ارائه شد [۴۰]، روشی ترکیبی ارائه گردیده که در آن هر نظری به هنگام ورود به شبکه کاهش سربار ناشی از ساماندهی مجدد ساختار شبکه، با استفاده از الگوریتم Pull فریم‌های را از نظریهای همسایه خود دریافت می‌کند. این روش تا هنگامی که نظری همسایه شبکه را قبل از اتمام پخش ویدئویی این نظری ترک نکرده باشد، ادامه می‌باید و در غیر این صورت از روش Push برای مبادله فریم بین نظریهای استفاده می‌شود. محققان در تحقیق [۲۲]، یک روش ترکیبی بر روی شبکه CDN-P2P برای کاهش میزان تأخیر ناشی از این نوع شبکه ارائه داده‌اند. ساختار این شبکه، ترکیبی از ساختار نظری به نظری درختی و توری است. در ابتدا یک درخت شامل همه نظریهای شبکه برپا می‌شود. سپس الگوریتم زمان‌بندی Push برای ارسال فریم‌های GoP جریان زنده ویدئو به کار گرفته می‌شود. روش ارائه شده توسط روسو و همکارانش [۲۳] به نام PPSSM و با هدف کاهش از دست رفگی بسته و افزایش گذردهی شبکه، شامل سه مرحله می‌باشد. این سه مرحله شامل ایجاد درختی زیرساخت درختی، با پخش کردن پویای اولیه جریان ویدئو و استفاده از کدینگ شبکه می‌باشد. امروزه کدینگ شبکه یکی از روش‌های بسیار مؤثر برای افزایش گذردهی شبکه است. این روش در ساختار درختی خود تلاش می‌کند نظریهای پایدار را انتخاب نماید و جریان داده را در آن با استفاده از Push مبادله کند. سپس بر اساس نظریهای غیر پایدار یک ساختار توری تشکیل دهد و از روش Pull برای مبادله فریم‌ها بهره ببرد. اگرچه روش فوق توانسته تا حدی کیفیت ویدئویی دریافتی را ارتقا دهد، از چند مشکل به شرح زیر رنج می‌برند. در شبکه‌های نظری به نظری پویا، اجرانمودن بیش از حد الگوریتم یافتن نظریهای پایدار هزینه بالای دارد، درخت تشکیل شده بر اثر Churning یا تحرک‌پذیری نظریهای دچار افزایش شده و این عملاً کارایی ساختار درختی را که این روش بسیار بر آن متکی



شکل ۴: ساختار فرضی شبکه توری مورد استفاده در این مقاله.

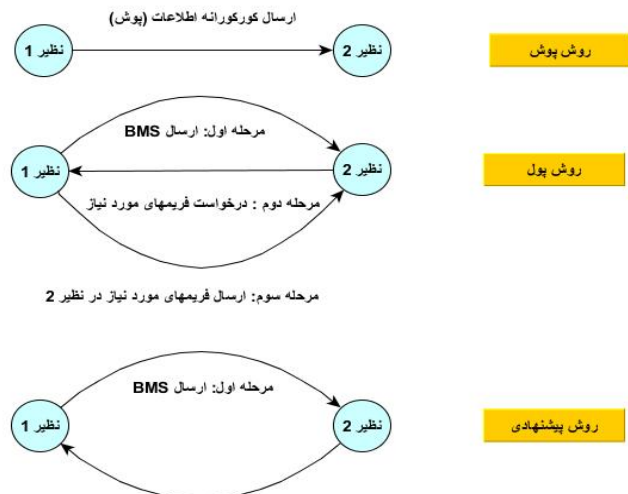
شکل ۳ نحوه کلی عملکرد این الگوریتم و مقایسه آن با دو الگوریتم پایه Push و Pull را نشان می‌دهد. همان‌گونه که در شکل مشاهده می‌شود، در روش AMIN نه تنها فریم‌های تکراری ناشی از ارسال کورکرانه اطلاعات بین نظیرها در روش Push وجود ندارد، بلکه با کاهش مبادله سه مرحله‌ای روش Pull به دو مرحله، می‌تواند باعث کاهش چشم‌گیر تأخیر مبادله اطلاعات و در نتیجه به موقع رسیدن فریم‌های ویدئو در گیرنده‌ها شود. به عبارتی، هر نظیر به جای ارسال فریم‌ها بدون توجه به حافظه نظیرهای همسایه، تلاش می‌کند برخلاف روش Pull که انتظار دریافت فریم از همسایه‌های خود را دارد، بررسی کند چه فریم‌هایی را می‌تواند به نظیر همسایه‌اش ارسال کند.

جهت توضیح واضح‌تر از روش پیشنهادی بر اساس شکل ۴ می‌توان آن را در قالب روندnamای مذکور در شکل ۵ برای یک نظیر مانند  $P$  بیان نمود. در این روندnamای فرض شده که نظیر  $P$  دارای  $n$  همسایه  $Q_1, Q_2, \dots, Q_n$  می‌باشد. برخی از این همسایه‌ها نیز خود همسایه مستقیم یکدیگر هستند. به عبارتی یک لینک مشترک بین آنها وجود دارد. برخی نیز همسایه‌های غیر مستقیم یکدیگر هستند. در این حالت یک نظیر با دو گام به همسایه غیر مستقیم خود می‌رسد. اما منظور از همسایه غیر مستقیم نظیری است که خود حتی همسایه نظیر  $P$  باشد. در این شکل نظیرهای  $Q_1, Q_2, \dots, Q_n$  همسایه مستقیم و نظیرهای  $Q_1, Q_2, \dots, Q_n$  همسایه غیر مستقیم یکدیگر هستند.

همچنین شکل ۶ معماری کلی روش پیشنهادی را نشان می‌دهد. بخش AMIN در این معماری، در واقع همان روش نوین ترکیبی مبتنی بر Push/Pull ارائه شده در پژوهش جاری می‌باشد. ورودی‌های این بخش شامل رشته BMS، زمان‌بند دریافت فریم و BMS و همچنین وضعیت حافظه محلی می‌باشند که بر اساس مطالبی که در ادامه خواهیم دید، کمک می‌کنند تا روش پیشنهادی بتواند بهترین تصمیم‌گیری را انجام دهد. مدیریت نظیر کلیه اعمال (مانند اتصال و خروج از شبکه، ارسال فریم و BMS و از این قبیل) مرتبط با هر نظیر در شبکه را کنترل، مدیریت و نظارت می‌نماید.

#### ۴- مفاهیم و واژه‌های کلیدی

در جدول ۱، واژه‌ها و مفاهیمی که در بیان نحوه عملکرد روش پیشنهادی بر اساس شکل‌های قبل آمده است، شرح داده شده‌اند. در این شکل، خطوط پرنگ و مقطع به ترتیب نشان‌دهنده جریان داده ویدئو و پیام‌های کنترلی بین جبهه‌های معماري هستند. پیام‌های کنترلی داخل خود نظیر بین بخش‌های مختلف اجزای آن مبادله می‌شوند و به خارج از نظیر هدایت نخواهند شد.



شکل ۳: روش AMIN و مقایسه آن با دو الگوریتم پایه Push و Pull

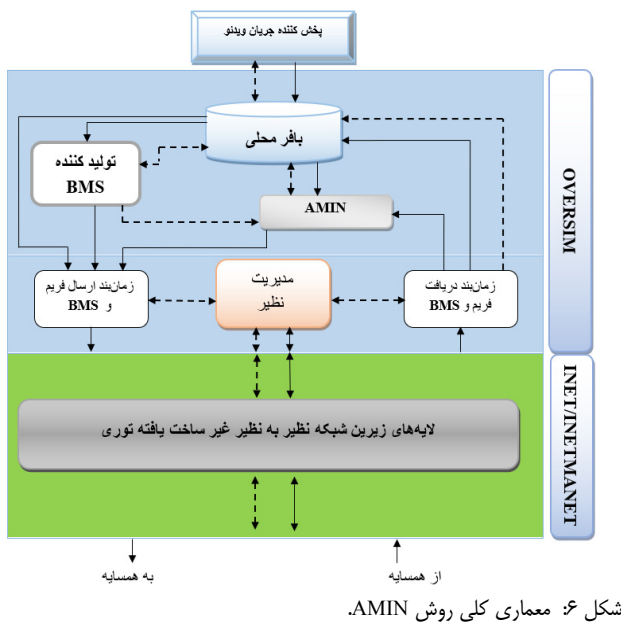
پایه بوده‌اند. البته لازم به ذکر است که بهبود کیفیت ویدئو حاصل شده در این روش‌ها به ازای افزایش سربار شبکه و یا نادیده‌گرفتن برخی موارد همچون Churning به دست آمده است. در بخش بعد به ارائه روشی نوین و مؤثر به نام AMIN برای بهبود هرچه بیشتر مشکلات فوق می‌پردازیم.

#### ۴- روش پیشنهادی AMIN

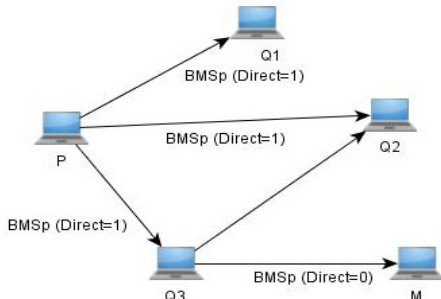
برخلاف روش‌های تجمعی موجود برای مبادله فریم‌های ویدئو که در رفع همزمان مشکل تأخیر و میزان پهنای باند دچار چالش هستند، روش پیشنهادی این مقاله به گونه‌ای عمل می‌کند که ضمن حفظ و استفاده بهینه از پهنای باند آزاد بین نظیرها، تأخیر نقطه به نقطه و دریافت را نیز کاهش می‌دهد. به عبارتی، برخلاف روش‌های سنتی Pull، این دریافت‌کننده BMS است که جهت کاهش تأخیر تلاش می‌کند تا فریم‌های جاواهه همسایه‌اش (فرستنده BMS) را جبران نماید، به گونه‌ای که آن نظیر فریم‌های تکراری نگیرد. بدین ترتیب ضمن حفظ تأخیر پایین، پهنای باند محدود و ارزشمند بین نظیرها هم به دلیل عدم وجود فریم‌های تکراری به صورت بهینه مصرف می‌شود. این یک ترکیب هوشمندانه از دو روش پایه است. بر اساس بخش قبل، هرچند الگوریتم‌های ارائه شده در این حوزه تلاش کرده‌اند از مزایای هر دو الگوریتم پایه Push و Pull به طرز بهتری استفاده کنند، ولی هر کدام به دلایلی که در بخش مرور کارهای پیشین این مقاله ارائه شد، نتوانسته‌اند ترکیب کارهای ارائه شده در این حوزه کرده‌اند از مزایای هر دو این الگوریتم‌ها، مزیت چندانی را برای یک شبکه نظیر به نظیر بالاخص در جریان‌سازی ویدئو زنده فراهم نمی‌آورد. حقیقت این الگوریتم پایه Push و Pull داشته‌اند تا ارائه یک ترکیب نوین به گونه‌ای که از مزایای هر دو الگوریتم بهره برده و معایب استفاده از آن در شبکه توری به حداقل ممکن برسد.

#### ۴- کلیات روش AMIN

در این تحقیق، به دنبال الگوریتم ترکیبی بهینه‌شده‌ای هستیم که نه تنها از مزایای الگوریتم Pull در ساختار توری برای مبادله جریان زنده ویدئوی استفاده کنیم، بلکه بتوانیم با انجام یک Push هوشمندانه باعث کاهش تأثیر تأخیر انتهای ناشی از استفاده از الگوریتم Pull شویم.



شکل ۶: معماری کلی روش AMIN



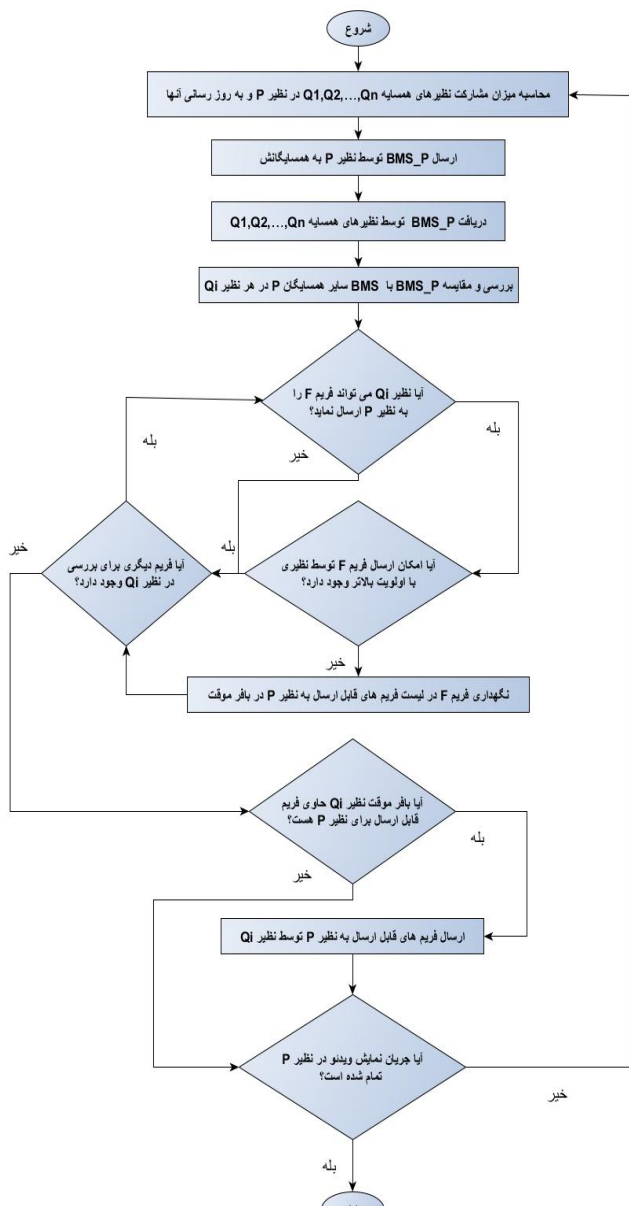
شکل ۷: نحوه ارسال BMS ناظیر P به همسایه‌های آن در روش AMIN.

مشترک نیستند، ارسال مجدد می‌نماید. به عبارتی هر نظیر، لیست همسایه‌های مشترک خود با سایر نظیرهای همسایه را دارد. در شکل ۷ نظیر همسایه  $O_i$  این عملیات را انجام داده و BMSpid را به نظیر همسایه خود (نظیر  $M$ ، نه نظیر  $O_i$ ) ارسال نموده است. بنابراین، روش فاقد ارسال BMS تکراری قابل توجه است.

در BMS ارسالی موارد زیر وجود دارند:

- وضعیت نقطه پخش (فریمی که در حال پخش است). همسایه‌ها بر اساس سیاست شبکه می‌توانند چند ثانیه قبیل ( $T_b$ ) و بعد ( $T_a$ ) از این نقطه را در مقایسه وضعیت حافظه خود با حافظه ارسالی  $P$  در نظر بگیرند،
  - شماره GoP‌ای که نظیر  $P$  در حال پخش آن است،
  - وضعیت موجودی فریم‌ها در حافظه با توجه به دو فیلد  $T_b$  و  $T_a$
  - شناسه هر همسایه ( $\{Q_i\}$ ) همراه با میزان محاسبه شده
  - مشارکت آن (طبق ادامه این پخش)،
  - فیلد Direct.

یکی از مهم‌ترین نکات کلیدی روش پیشنهادی، محاسبه میزان مشارکت نظیرها نسبت به یکدیگر است. این میزان نشان می‌دهد هر همسایه  $P$  نسبت به آن چه میزان همکاری داشته است. این همکاری در مقایسه با میزان همکاری  $P$  با آن نظیر بوده است. هر نظیر این میزان را تا زمانی که نظیر دیگر همسایه مستقیم یا غیر مستقیم آن باشد، در جدول فوق نگهداری می‌کند و در صورتی که داده‌ای بین آنها برای مدت زمان مشخصی مبادله نشود، میزان عددی مشارکت صفر خواهد شد. زمان انتظار برای وقوع این رخداد نیز در شبکه واقعی و شبیه‌سازی انجام شده



شکل ۵: روندnamی روش AMIN که در یک نظیر فرضی مانند P پس از دریافت وضعيت باف همسایه به انجام می‌سد.

#### ۴- ۳- جزئیات روش پیشنهادی AMIN

در ادامه به بررسی دقیق‌تر مراحل الگوریتم نوین ترکیبی پیشنهادی مبتنی بر دو الگوریتم پایه Push و Pull می‌پردازیم. در بخش‌های پیش رو باز هم فرض بر این است که نظیر  $P$  به همه  $n$  همسایه خود، BMS را ارسال نموده است. سپس، همسایه‌ها تلاش دارند تا با استفاده از روش پیشنهادی، فریم‌های مورد نظر  $P$  را با حداقل تعداد تکرار فریم هنگام دریافت توسط  $P$ ، به آن ارسال کنند. لازم به ذکر است که نظیرها به شبکه متصل شده و ارتباطات بین آنها شکل گرفته است.

### ۴-۳-۱ ارسال BMSPid توسط نظیر P

نظیر  $P$  با بررسی حافظه خود منطبق بر سیاست حفظ نقاط بحرانی و اطمینان، اقدام به ارسال BMS با شناسه id به همسایه‌هایش (طبق جدول  $TDIN_p$ ) می‌نماید. هر نظیر همسایه مستقیم  $P$ ، با تغییر بیت Direct به صفر، این BMS را به همسایه‌های خودش که با نظیر  $P$

جدول ۱: واژه‌های کلیدی روش AMIN

واژه / مفهوم	شرح
$P$	یک نظیر فرضی در شبکه غیر ساخت یافته توری که قابلیت ارسال / دریافت فریم‌های ویدئو به / از همسایه‌های خود را دارد و پس از دریافت، آنها را برای کاربر مربوط پخش می‌کند.
$LB(P)$	نام حافظه محلی نظیر $P$ (Local Buffer)
$Q_i, i = 1, 2, \dots, n$	همسایه‌های نظیر $P$ که تعداد آنها بین ۱ تا $n$ متغیر است. مقدار $n$ را شرایط شبکه تعیین می‌کند ولی در شبیه‌سازی انجامشده این مقدار در شبیه‌ساز مقداردهی می‌شود.
$\{Q_i\}$	لیستی از همه $n$ همسایه نظیر $P$
$BMSpid$	جدول وضعیت نقشه حافظه نظیر $P$ با شناسه id. این شناسه در هر بار ارسال وضعیت حافظه نظیر یکی افزایش می‌یابد.
$GoP\_PM$	رشته بیتی نشان‌دهنده وضعیت فریم‌های GoP شماره $M$ در حافظه نظیر $P$ را نشان می‌دهد. فرض کنیم شماره $M=17$ دارای فقط ۴ فریم IB, B, P باشد. رشته بیتی ۱۰۱۱ بدين معنی است که نظیر $P$ همه فریم‌های این GoP به جز فریم B را دارد.
$TDIN_p$	جدول همسایه‌های مستقیم و غیر مستقیم نظیر $P$ طبق شکل ۷
$TNR_p$	جدول امتیازدهی و رتبه‌بندی نظیرهای همسایه $P$ که در حافظه آن نگهداری و به روز رسانی می‌شود. هر نظیر مانند $P$ ، یک میزان مشارکت برای هر همسایه $Q$ خود نگهداری می‌نماید.
$EF(P)$	لیست فریم‌های ویدئوی قابل دسترس در حافظه محلی نظیر $P$ (Existing Frames)
$F$	یک فریم ویدئویی که می‌تواند هر یک از فریم‌های $P$ یا B باشد.
$P\_Id$	شناسه منحصر به فرد نظیر $P$ در شبکه
$Direct$	نشان‌دهنده وضعیت ارتباطی همسایه با نظیر $P$ است. بیت ۱ یعنی همسایه مستقیم و بیت ۰ یعنی همسایه غیر مستقیم.
$T_a, T_b$	مقدار زمان قبل ( $T_b$ ) و بعد ( $T_a$ ) از نقطه پخش در نظیر $P$
$T_{n-l}, T_n$	زمان‌های دریافت BMS قبلی ( $T_{n-l}$ ) و فعلی ( $T_n$ ) در یک نظیر
$Rank(Q_i)$	مقدار رتبه‌بندی نظیر همسایه با نام $Q_i$ در بین همه همسایه‌های نظیر $P$

دریافت شده در نظیر  $P$  از نظیر  $Q_i$  میزان  $Sent\_Averaged_{old}$  محاسبه شده مشارکت در زمان ارسال BMS قبلی برای بسته‌های ارسال شده توسط نظیر  $P$  به نظیر  $Q_i$  میزان  $Sent\_Averaged_{new}$  محاسبه شده مشارکت در زمان ارسال BMS فعلی برای بسته‌های ارسال شده توسط نظیر  $P$  به نظیر  $Q_i$  و  $N_{Q_i}$  و  $N_p$  تعداد همسایه‌های نظیرهای  $P$  و  $Q_i$  هستند.

با توجه به روابط، اگر  $m$  نظیر از مجموعه  $\{Q_i\}$  بتوانند برای مثال فریم P2 از GoP شماره ۱۷ را برای نظیر  $P$  ارسال کنند، روش پیشنهادی نظیری را مجبور به ارسال این فریم خواهد نمود که دارای کمترین میزان مشارکت محاسبه شده با  $P$  در مجموعه  $\{Q_i\}$  باشد. بدین ترتیب نه تنها جلوی نظیرهای خودخواه گرفته می‌شود، بلکه تلاش می‌گردد تا از پهنای باند نظیرها به درستی و به صورت توزیع شده استفاده گردد. نظیر خودخواه نظیری است که از پهنای باند آپلود دیگران نهایت بهره را می‌برد ولی پهنای باند آپلود خود را در اختیار همسایگانش قرار نمی‌دهد.

#### ۴-۳-۲- دریافت $Q_i$ در نظیر $BMSpid$

طبق مطالب فوق، نظیر  $P$  باید میزان مشارکت هر همسایه را با خود محاسبه نماید. نحوه محاسبه این مقدار به شرح (۳) می‌باشد. هر نظیر  $Q_i$  به محض دریافت BMSpid اقدام به به روز رسانی اطلاعات خود بر اساس اطلاعات موجود در این BMS می‌نماید. شناسه هر نظیری که همسایه  $P$  است، آخرین شناسه جدول BMS هر نظیر  $P$  (جهت این که اگر وضعیت حافظه ارسالی همسایه‌ای توسط  $P$  قدیمی است، نظیر وضعیت قدیمی حافظه همسایه  $P$  را مجدد بررسی نکند)، حجم ویدئوی دریافتی در  $Q_i$  از نظیر همسایه  $P$  و ارسالی به نظیر همسایه  $P$  توسط  $Q_i$  به بایت (این برای محاسبه میزان مشارکت نظیر  $P$  در همسایه  $Q_i$  آن می‌باشد)، مقدار محاسبه شده مشارکت نظیرهای همسایه مستقیم و غیر مستقیم  $P$  (رتبه‌بندی آنها).

قابل تنظیم است که این مقدار در تحقیق جاری با توجه به زنده‌بودن ترافیک ۳ ثانیه (ارسال / دریافت سه BMS) در نظر گرفته شده است. نظیر  $P$  به صورت زیر میزان مشارکت هر نظیر همسایه  $Q_i$  خودش را به صورت جداگانه برای هر یک محاسبه و در جدول  $TNR_p$  ذخیره می‌نماید. روابط (۱) تا (۳) به ترتیب نشان‌دهنده میزان مشارکت محاسبه شده بین نظیر  $P$  و همسایه  $Q_i$  آن و مقادیر صورت و کسر (۳) می‌باشند

$$Contribution\ Ratio = \frac{Received\_Average_{new}}{Sent\_Average_{new}} \quad (1)$$

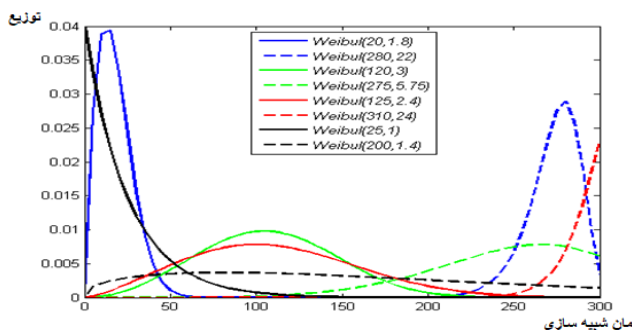
$$Sent\_Average_{new} =$$

$$Sent\_Averaged_{old} + \frac{ks}{MNUB_p \times (T_n - T_{n-l})} \quad (2)$$

$$Received\_Average_{new} =$$

$$Received\_Averaged_{old} + \frac{kr}{MNUB_{Q_i} \times (T_n - T_{n-l})} \quad (3)$$

که  $MNUB^1$  حداکثر پهنای باند آپلود بر حسب kr . b/s حجم بسته‌های دریافتی از همسایه  $Q_i$  در نظیر  $P$  از زمان دریافت BMS قبلی ( $T_{n-l}$ ) تا زمان دریافت  $P$  ( فعلی از آن،  $ks$  حجم بسته‌های ارسالی به همسایه  $Q_i$  توسط نظیر  $P$  از زمان ارسال BMS قبلی ( $T_{n-l}$ ) تا زمان ارسال BMS ( $T_n$ ) فعلی به آن،  $Received\_Averaged_{old}$  میزان محاسبه شده مشارکت در زمان دریافت BMS قبلی برای بسته‌های دریافت شده در نظیر  $P$  از نظیر  $Q_i$  آن می‌باشد،  $Received\_Averaged_{new}$  میزان محاسبه شده مشارکت در زمان دریافت BMS فعلی برای بسته‌های



شکل ۹: چهار سناریوی مختلف در نظر گرفته شده برای Churning نظیرها در شبیه‌سازی و مقایسه روش AMIN با سایر روش‌ها.

جدول ۲: نحوه عملکرد تابع MXOR برای مقایسه وضعیت بافر نظیرها.

$X_1$	$X_2$	$\text{MXoR}(X_1, X_2)$
.	.	.
.	۱	۰
۱	۰	۱
.	۱	۰

حسگر، شبکه‌های ad-hoc بی‌سیم، پروتکل‌های اینترنت، مدل‌سازی عملکرد، شبکه‌های فوتونی و غیره، توسط چارچوب‌های مدل ارائه شده OMNeT++ قابل انجام است. برای انجام زمانی OMNeT++ می‌تواند مدت زمانی اجرا بوده و یک میزان برای ابزارهای دیگر ارائه می‌دهد. برای شبیه‌سازی روش‌های مورد مقایسه در این بخش، از دو چارچوب معروف INET برای شبیه‌سازی لایه‌های TCP/IP و از Denacast [۴۴] که مبتنی بر OVERSIM می‌باشد، برای شبیه‌سازی شبکه نظری به نظری توری غیر ساختی‌افته بر روی بستر زیرین استفاده شده است. فرض‌های این تحقیق که در روند شبیه‌سازی آن در نظر گرفته شده‌اند عبارتند از: شبکه نظری به نظری توری بر روی بستر سیمی در شبکه اینترنت می‌باشد، هر نظری به تعداد مشخصی بر اساس میزان پهنای باند آپلودش می‌تواند همسایه داشته باشد، پهنای باند هر نظری به طور مساوی بین همسایگانش تقسیم می‌شود، نظری خودخواه در شبکه به جهت بررسی دقیق عملکرد الگوریتم پیشنهادی وجود ندارد، نظری‌ها دارای حرکت نیستند و رفت و آمد نظری‌ها (Churn) در شبکه اتفاق می‌افتد (بنابراین پنج سناریوی کامل در نظر گرفته شد)، جریان ویدئوی زنده از یک منبع به روش GoP مبتنی بر روش کدینگ H.۲۶۴/MPEG ۱۰ تکلایه‌ای مبادله می‌شود، بستر شبکه توری به صورت تصادفی تشکیل و زمان ارسال BMS بین نظیرها هر یک ثانیه یک بار است.

### ۱-۵ پارامترهای شبیه‌سازی

در کلیه شبیه‌سازی‌های انجام شده شرایطی کاملاً یکسان برای همه روش‌ها در نظر گرفته شد. جداول ۳ و ۴ به ترتیب مشخصات جریان زنده ویدئویی برگرفته از کتابخانه ویدئوی دانشگاه Arizona و مقادیر پارامترهای شبیه‌سازی را نشان می‌دهند. تعداد همسایه‌های هر نظری به صورت تصادفی عددی بین ۳ تا ۵ در نظر گرفته شده است. بر اساس جدول ۵ و شکل ۹، برای بررسی دقیق‌تر روش‌ها بر حسب تأثیر ورود و خروج نظیرها، سناریوهایی دقیق در نظر گرفته شد. در واقع برای هر تعداد نظری مشخص به جز حالت بدون Churn، چهار حالت Churn در نظر داریم تا روش‌ها را برای شرایط کامل ورود و خروج نظیرها و اثرات آن بر روی کارایی روش‌ها، مورد ارزیابی قرار دهیم. محور افقی زمان شبیه‌سازی بر حسب ثانیه و محور عمودی مقادیر Weibull

Peer  $P$  sends BMSpid includes GoP\_P M

Peer  $Q_i, i = 1, 2, \dots, n$  receives BMSpid and extracts GoP\_P M

$R = 1$

$S_R = \text{MXoR}(\text{GoP}_Q_i \text{ M}, \text{GoP}_P \text{ M})$

For all neighbors  $Q_j, j = 1, 2, \dots, n, j \neq i$  Do

If  $\text{Rank}(Q_j) > \text{Rank}(Q_i)$  Then

$R = R + 1$

$S_R = \text{MXoR}(S_{R-1}, \text{GoP}_Q_j \text{ M}) // Q_i \text{ temporary keeps } S_R \text{ in its buffer}$

For  $n = 1$  to  $\text{GoP\_Size}$  Do

If  $S_R(n) = '1'$  Then

Sends correspondence video frame in  $S_R(n)$  to Peer  $P$

شکل ۸: مقایسه BMS‌ها در نظری همسایه  $Q_i$  در روش AMIN

### ۴-۳-۳ ارسال فریم به نظری $P$

اکنون نظیرهای همسایه  $P$  با توجه به اطلاعات جداول ذکر شده در بخش قبل حاوی اطلاعات همسایه‌های مقایسه‌ای بین وضعیت حافظه خود و نظری  $P$  انجام داده و اقدام به ارسال فریم‌هایی که نظری  $P$  متقاضی آنها است می‌نمایند. نحوه انجام مقایسه بر اساس MXoR انجام می‌شود. خروجی تابع معرفی شده توسط این تحقیق به نام MXoR انجام می‌شود. اینجا MXoR این تابع تنها زمانی یک است که مقدار  $X_1$  و  $X_2$  به ترتیب برابر یک و صفر باشند.

روندهای مقایسه در نظیرهای همسایه  $P$  بر اساس شبه‌کد آمده در شکل ۸ می‌باشد. ولی از آنجایی که ممکن است نظیرهای متعددی یک فریم خاص را به یک نظری مانند  $P$  ارسال کنند، در روش پیشنهادی از یک روش مقایسه هوسمندانه جهت مقایسه همسایه های BMS نظیرهای همسایه برای همسایگان مستقیم و غیر مستقیم استفاده می‌شود. سپس نظری اولویت ارسال یک فریم مشترک به نظری  $P$  را به عهده می‌گیرد که میزان مشارکتش با آن در بین سایرین کمترین بوده باشد. به عبارتی، اگر فرض کنیم نظیرهای A و B همسایه‌های نظری  $P$  هستند و هر دو بر اساس BMS دریافتی از نظری  $P$  به این نتیجه می‌رسند که باید فریم GoP شماره ۳۴ را برای آن ارسال کنند، آن گاه بر اساس روش اولویت‌بندی ارائه شده در این تحقیق، یکی از دو نظری A یا B این عمل را انجام خواهد داد. بدین صورت فریم‌های تکراری به نظری  $P$  ارسال نخواهد شد. محاسبه میزان مشارکت در نظری  $P$  انجام می‌شود تا جلوی رفتار خودخواهانه نظیرها در مبادله اطلاعات گرفته شود. به عبارتی، اگر هر نظری خود میزان مشارکتش با سایرین را تعیین کند، امکان اعلام غیر واقعی میزان مشارکت به صورت عدمی وجود دارد که باعث به وجود آمدن رفتار خودخواهانه نظیر می‌شود. رفتاری که در آن نظری میزان مشارکت خود در شبکه را به صورت غیر واقعی بیشتر از حد معمول نشان می‌دهد تا سایرین از پهنای باند آپلود آن استفاده نکرده و انرژی خود را ذخیره کند.

### ۵- تجزیه، تحلیل و ارزیابی نتایج

شبیه‌سازی کلیه روش‌های مورد مقایسه در آخرین نسخه شبیه‌ساز OMNeT++ انجام گردید. این شبیه‌ساز یک کتابخانه و چارچوب شبیه‌سازی مبتنی بر C++ است که قابلیت انعطاف‌زیادی داشته و عمدهاً برای شبیه‌سازی‌های شبکه مورد استفاده است. "شبکه" به معنای عام آن شامل شبکه‌های ارتباطی سیمی و بی‌سیم، شبکه‌های تراشه، شبکه‌های صف‌بندی و غیره است. قابلیت‌های خاص مانند پشتیبانی از شبکه‌های

جدول ۳: مشخصات جریان زنده ویدئو در شبیه‌سازی.

عنوان	شرح	عنوان	شرح
پارامتر (QP) Quantizer	۸	Star War IV	نام ویدئو
Mean Frame Size	۶۳۱/۴ Bytes	Frame/Second	۳۰
Mean Frame PSNR	۳۷/۴۵ Decible	Variable Bit Rate	
Mean Frame Bit Rate	۱۵۱/۶ Kbps	Single Layer	ساختار GoP
مرجع ویدئو زنده	Arizona Trace Lib.	G16B1	

جدول ۴: پارامترهای شبیه‌سازی.

پارامتر	مقدار	پارامتر	مقدار
تعداد همسایه	Uniform(۳,۵)	نرخ دانلود/اپلود	۲۰۴۸/۴۰۹۶ Kbps
تعداد نظیرها	۲۰۰-۱۰۰-۵۰	زمان مبادله	۱ ثانیه
اندازه حافظه اولیه	۸	مدل توزیع نظیرها در شبکه	تصادفی
ابعاد شبکه	۴۰۰×۲۰۰ کیلومتر مربع	تعداد تکرار هر سناریو	۱۰
نرخ خطا	۰.۰۰۰۱	زمان شبیه‌سازی	۳۰۰ ثانیه

روش پیشنهادی با نام AMIN  
الگوریتم Push روی هر دو ساختار درخت و توری (به صورت رندوم روی توری)  
الگوریتم Pull بر روی ساختار توری  
ارسال به روش Pull در ساختار توری و روش Push در ساختار درختی مجازی روی شبکه توری با نام HybridPushPull

جدول ۵: شرح سناریوهای مختلف CHURN در نظر گرفته شده در شبیه‌سازی برای نظیرها بر اساس شکل ۸

سناریو	شرح سناریو	توزیع ورود نظیرها Weibull(x,y)	توزیع خروج نظیرها Weibull(x,y)
R-Scenario۲ ورود سریع - خروج سریع	نظیرها با نرخ بالا تا ثانیه ۳۵ام وارد و با همان نرخ بالا از ثانیه ۲۲۰ تا ۳۰۰ از شبکه خارج می‌شوند.	(۲۸۰,۲۲)	(۲۰/۱,۸)
R-Scenario۳ ورود آرام - خروج آرام	نظیرها با نرخ پایین تا ثانیه ۲۰ وارد و از ثانیه ۱۱۵ تا ۳۰۰ با نرخ پایین از شبکه خارج می‌شوند.	(۲۷۵/۵,۷۵)	(۱۲۰,۳)
R-Scenario۴ ورود آرام - خروج سریع	نظیرها با نرخ پایین تا ثانیه ۲۵۰ وارد و از ثانیه ۲۵۱ تا ۳۰۰ با نرخ بالا از شبکه خارج می‌شوند.	(۳۱۰,۲۴)	(۱۲۵/۲,۴)
R-Scenario۵ ورود سریع - خروج آرام	نظیرها با نرخ بالا تا ثانیه ۱۳۰ وارد و از ثانیه صفر تا ۳۰۰ با نرخ پایین از شبکه خارج می‌شوند.	(۲۰۰,۱,۴)	(۲۵,۱)

برای مثال، زمانی که نرخ ورود و خروج نظیرها یکسان نیست، روش AMIN توانسته است درصد بالایی از کیفیت ویدئو را حفظ نماید. علت اصلی این موضوع این است که در روش AMIN، هر نظیر از چندین نظیر همسایه دیگر اطلاعات را هم‌زنان و بدون تکرار دریافت می‌کند و به محض خروج یکی از همسایه‌ها، سایر همسایه‌های نظیر، وظیفه آن را به عهده می‌گیرند. در روش Pull تنها زمانی که Churn ندارد و یا نظیرها با سرعت آرامی وارد و خارج می‌شوند کیفیت نسبتاً بالا است، ولی در شدت این ورود و خروج، روش Pull باید از ابتدا پرسه درخواست فریم‌ها را تکرار نماید که این خود باعث افزایش تأخیر دریافت و در نتیجه کاهش کیفیت ویدئو زنده دریافتی می‌شود. در خصوص سایر روش‌ها نیز علت پایین‌بودن کیفیت ویدئو مشخص است. روش Push در ساختار توری با افزایش غیر قابل تصور فریم‌های تکراری، باعث هدر رفتن پهنای باند در نتیجه افزایش تأخیر مبادله فریم‌ها می‌شود. این پارامتر تأثیر مستقیم بر روی کیفیت ویدئو دارد. این مشکل در روش ترکیبی نیز مشهود است، زیرا همان طور که قبلًا گفته شد، روش‌های ترکیبی فعلی تجمیعی از دو روش پایه هستند. در روش Push\_Tree نیز با افزایش Churn یا تعداد نظیرها، به ترتیب افزار و عمق درخت افزایش می‌یابد که هر دو روی کیفیت ویدئو تأثیرگذار هستند.

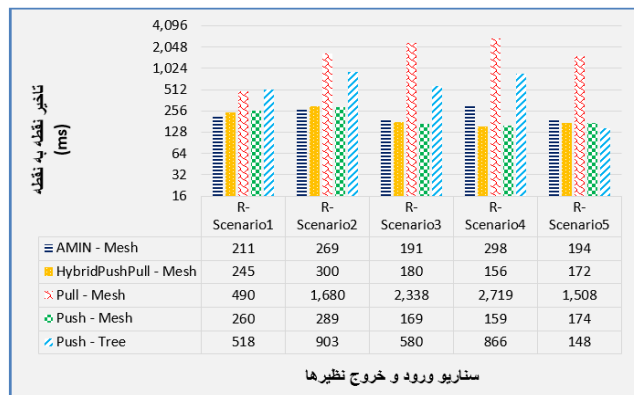
برای نرخ ورود و خروج نظیرها را نشان می‌دهند (به رنگ متن جدول و شکل جهت تطبیق توجه شود).

## ۲-۵ ارزیابی و تجزیه و تحلیل نتایج

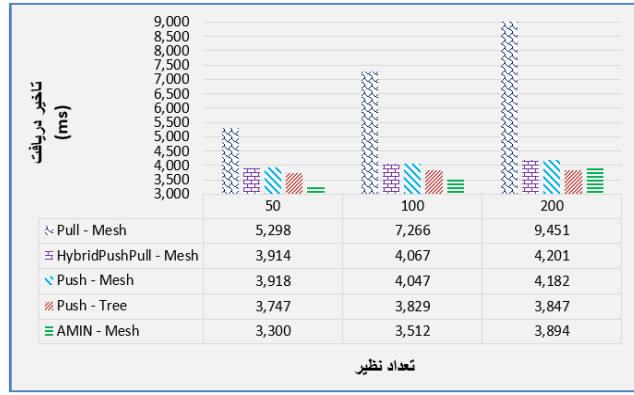
در این بخش به ارزیابی نتایج حاصل از شبیه‌سازی می‌پردازیم.

### ۲-۵-۱ کیفیت ویدئو دریافتی

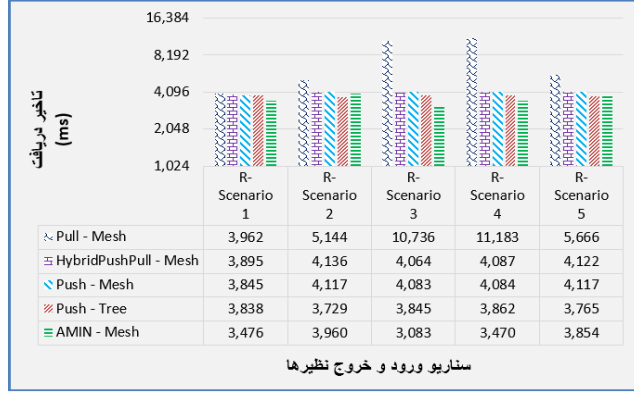
شکل ۱۰ کیفیت ویدئو دریافتی در نظیرها را برای تعداد ۱۰۰ و ۲۰۰ نظیر نشان می‌دهد. همان گونه که مشاهده می‌شود، روش AMIN توانسته است با افزایش تعداد نظیرها، ضمن حفظ کیفیت ویدئو دریافتی در نظیرها، کیفیتی مشابه روش Pull که هدف اصلی آن افزایش کیفیت است، داشته باشد و حتی در تعداد ۲۰۰ نظیر کیفیت بهتری را نشان دهد. علت این امر این است که روش AMIN برخلاف Pull با افزایش تعداد نظیرها تأخیر کمتری در مبادله فریم‌ها ایجاد می‌نماید. به عبارتی در روش Pull با افزایش تعداد نظیرها، تأخیر صفحه افزایش یافته و این تأخیر مستقیم بر روی کیفیت ویدئو دریافتی در نظیرها می‌گذارد. در شکل ۱۱ نیز کیفیت ویدئو دریافتی بر حسب سناریوهای مختلف Churn نشان داده شده است. نکته قابل توجه در خصوص روش AMIN، مقاومت بالای آن در هنگام ورود و خروج نظیرها نسبت به سایر روش‌ها است.



شکل ۱۳: تأخیر نقطه به نقطه به میلی ثانیه در روش‌های مختلف شبیه‌سازی شده بر حسب سناپ‌یوهای مختلف .Churn



شکل ۱۴: تأخیر دریافت به میلی ثانیه در روش‌های مختلف شبیه‌سازی شده بر حسب تعداد نظریها.



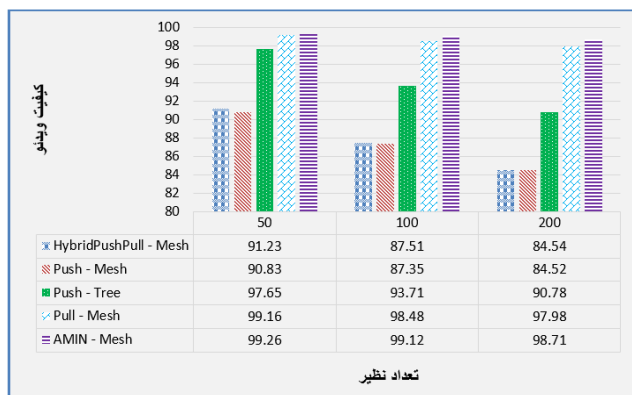
شکل ۱۵: تأخیر دریافت به میلی ثانیه در روش‌های مختلف شبیه‌سازی شده بر حسب سناپ‌یوهای مختلف .Churn

روش‌ها مبادله نمایند. اثر این کاهش تأخیر بر روی کیفیت ویدئوی دریافتی در شکل‌های قبل مشهود است.

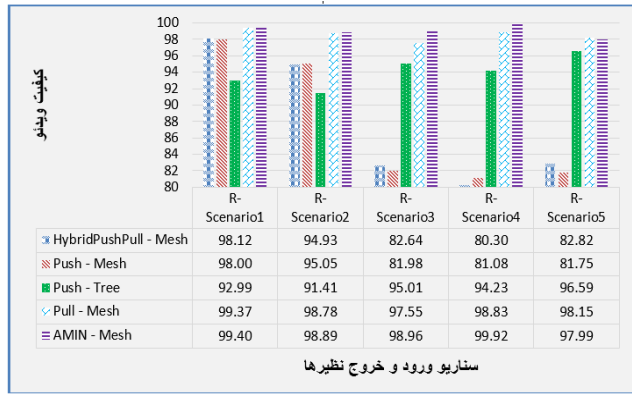
با بررسی شکل ۱۳ نیز به این نتیجه واضح می‌رسیم که روش AMIN حتی در هنگام پویابودن شدید شبکه نیز توانسته است کارایی خود را حفظ نماید. باز هم دلیل این امر این است که یک نظری فقط به یک نظری همسایه خود جهت دریافت فریم‌های مورد نیازش وابسته نیست. به عبارتی، یک نظری فریم‌های متفاوت را از نظری‌های همسایه مختلفی دریافت می‌نماید، در نتیجه خروج ناگهانی یک نظری تأثیر چندانی بر روی عملکرد آن ندارد. همچنین برخلاف Push، با استفاده مؤثر از پهنای باند محدود بین نظری‌ها نیز سعی می‌کند تأخیر را تا حد ممکن کاهش دهد.

### ۳-۲-۵ تأخیر دریافت

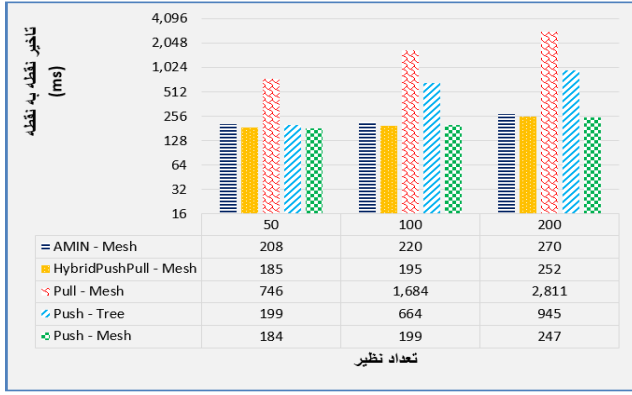
شکل‌های ۱۴ و ۱۵ از زاویه دیگر مقدار نوع دیگری از تأخیر به نام



شکل ۱۰: کیفیت ویدئوی دریافتی در روش‌های مختلف شبیه‌سازی شده بر حسب تعداد متغیر نظریها.



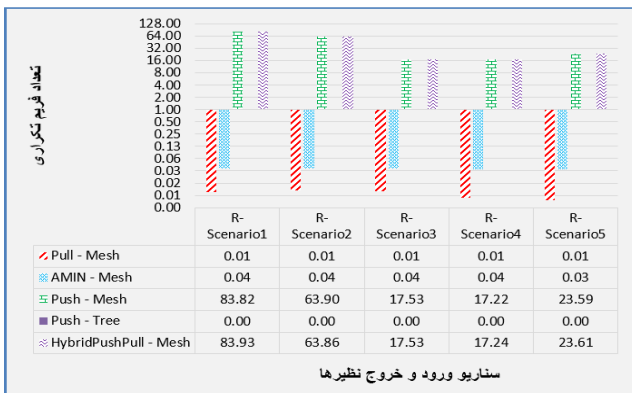
شکل ۱۱: کیفیت ویدئوی دریافتی در روش‌های مختلف شبیه‌سازی شده بر حسب سناپ‌یوهای مختلف .Churn



شکل ۱۲: تأخیر نقطه به نقطه به میلی ثانیه در روش‌های مختلف شبیه‌سازی شده بر حسب تعداد نظریها.

## ۲-۵ تأخیر نقطه به نقطه

یکی از مهمترین شاخص‌های قابل سنجش در مبادله جریان ویدئوی زنده، مقدار تأخیر نقطه به نقطه می‌باشد، زیرا این شاخص نشان می‌دهد روش مبادله فریم‌ها حفظ کیفیت ویدئوی دریافتی را با چه اندازه تأخیر فراهم آورده است. اگرچه خود تأخیر نیز بر روی کیفیت ویدئوی دریافتی هنگامی که از ساختار GoP استفاده شود تأثیر مستقیمی دارد، اما مهم این است که روش با حفظ یا کاهش این پارامتر کیفیت ویدئو را حفظ نماید. بر اساس شکل ۱۲، روش AMIN کمترین میزان میزان تأخیر نقطه به نقطه را ایجاد نموده است. نظری‌ها در این روش با کاهش یک مرحله از روش Pull، استفاده بینهای از پهنای باند در مقایسه با روش Push و تصمیم‌گیری سریع‌تر در مقایسه با روش ترکیبی مورد مقایسه، می‌توانند با کمترین میزان تأخیر ممکن فریم‌ها را بر روی پهنای باند آزادتری نسبت به سایر



شکل ۱۷: تعداد فریم‌های تکراری دریافتی در روش‌های مختلف شبیه‌سازی شده بر حسب ستاریوهای مختلف.Churn

جدول ۷: وضعیت حافظه P و سه همسایه آن در خصوص GOP M

رشته بیتی	GOP	نظریر
۱۰۱۰۰۱۰۱۰۰۱	GoP_P M	P
۱۰۱۱۰۱۰۱۱۰۱	GoP_Q, M	Q,
۰۱۱۰۱۱۰۱۱۰۱	GoP_Q, M	Q,
۱۱۱۰۱۰۱۱۰۰۱۰	GoP_Q, M	Q,

شاخص اصلی را که همان کیفیت تصویر است نشان می‌دهد. میزان درصد بهبود برای نظریرهای ۵۰، ۱۰۰ و ۲۰۰ عدد متوسط‌گیری شده است. همچنین در بخش ستاریوهای Churn نیز این متوسط‌گیری در بین پنج ستاریوی مختلف به دست آمده است.

## ۵-۲-۵ مطالعه موردنی

برای درک بهتر این بخش به ذکر یک مثال می‌پردازیم. شکل ۴ را در نظر بگیرید. در این شکل فرض می‌کنیم نظریر P وضعیت حافظه خود در خصوص GOP شماره M که مایل به دریافت کل یا بخشی از آن است را به نظریرهای همسایه‌اش ارسال می‌کند و منتظر دریافت فریم‌های مورد نیاز خود می‌ماند. جدول ۷ وضعیت نظریر P و همسایه‌های آن را در رشته بیتی نشان‌دهنده وجود فریم در حافظه محلی و بیت صفر نشان‌دهنده عدم وجود آن فریم و نیاز به دریافت آن در آینده نزدیک یا دور بسته به محل نقطه پخش می‌باشد. همچنین فرض می‌کنیم بر اساس محاسبات انجام‌شده توسط نظریر P، نظریرهای Q, Q, Q و Q به ترتیب راست به چپ دارای کمترین تا بالاترین میزان اولویت (بیشترین تا کمترین میزان همکاری را با نظریر P در مبادلات قبلی بین خود داشته‌اند) برای ارسال فریم به نظریر P می‌باشند و به دلیل دریافت این اعداد توسط همه آنها، همگی از این اولویت‌ها باخبر هستند. بر اساس مطالعه بیان شده، نظریرهای Q, Q و Q نیز از وضعیت حافظه یکدیگر مطلع هستند، زیرا BMS این دو توسط نظریر P پس از صفر کردن بیت Direct برای طرف مقابل ارسال شده است. اکنون مثال را برای نظریر Q و با توجه به جدول ۸ دنبال می‌کنیم. نکته حائز اهمیت این است که نظریری که BMS را با فیلد Direct = ۰ دریافت می‌کند، آن را به نظریر دیگری ارسال مجدد نخواهد کرد، هیچ BMS تکراری در شبکه منتشر نمی‌شود و یک BMS دریافتی به ارسال کننده آن باز پس فرستاده نمی‌شود.

در اولین قدم، در ردیف ۳ جدول ۸، ماقایسه‌ای بین وضعیت حافظه خود و نظریر P در خصوص فریم‌های GOP M انجام داده است.



شکل ۱۶: تعداد فریم‌های تکراری دریافتی در روش‌های مختلف شبیه‌سازی شده بر حسب تعداد نظریرها.

جدول ۶: مقایسه درصدهای بهبود روش پیشنهادی نسبت به سایر روش‌ها برای کیفیت ویدئو.

نسبت به روش ←	Hybrid	Push-Tree	Push-Mesh	Pull-Mesh
کیفیت ویدئو	۶,۰۱	۷,۵۳	۱۴,۱۳	۱,۶۶

تأخیر دریافت را نشان می‌دهند. با توجه به این که کاهش تأخیر نقطه به نقطه اثر مستقیم روی این شاخص دارد، لذا همان دلایل مطرح شده در خصوص نتایج این دو نمودار نیز صادق هستند. تفاوت عمدی این شاخص با شاخص تأخیر نقطه به نقطه در این می‌باشد که در تأخیر دریافت، تأخیرهای ناشی از قرارگرفتن فریم‌ها در صف ورودی و خروجی نظریرها، پردازش آنها، ارسال و دریافت در فرستنده و گیرنده‌های میانی و همچنین خود مقدار تأخیر نقطه به نقطه نیز لحاظ شده است. به عبارتی، هر چه میزان تأخیر صف کمتر باشد، مقدار تأخیر دریافت نیز کاهش خواهد یافت. تأخیر صفت زمانی کاهش می‌یابد که نظریرها با ازدحام بسته‌های ارسالی مورد درخواست همسایه‌های خود مواجه نشوند.

این نشان می‌دهد روش AMIN توانسته است با مدیریت صحیح تعداد فریم‌های ارسالی در شبکه، طول صف نظریرها را کاهش داده و در نتیجه میزان کلی تأخیر دریافت را کاهش دهد. نکته قابل توجه در این پارامتر این است که در دل زمان دریافت تأخیرهای ناشی از مواردی همچون تصمیم‌گیری برای انتخاب فریم قابل ارسال، زمان لازم برای تصمیم‌گیری این که به کدام نظریر همسایه باید فریم ارسال شود، تأخیر ناشی از اجرای الگوریتم مورد استفاده و خود تأخیر نقطه به نقطه نهفته هستند. بنا بر تمامی موارد فوق، روش AMIN به دلایل متعدد از جمله بهینه‌سازی پروسه تصمیم‌گیری و استفاده بهینه از توانمندی نظریرها در پردازش و استفاده مفید از پهنای باند، میزان این تأخیر را به طور چشم‌گیری کاهش داده که نتیجه آن افزایش کیفیت ویدئو زنده دریافتی می‌باشد.

## ۴-۲-۵ تعداد فریم‌های تکراری دریافتی

سؤال مهمی که قابل طرح می‌باشد این است که AMIN نتایج فوق را با چه تعداد تکرار از فریم‌ها حاصل نموده است. دو شکل ۱۶ و ۱۷ وضعیت تعداد فریم‌های تکراری دریافت شده در روش‌های مختلف را نشان می‌دهند. همان گونه که از نتایج این دو شکل مشخص است روش پیشنهادی توانسته است با کمترین میزان تعداد فریم تکراری ممکن کیفیت ویدئو مناسب همراه با تأخیر کم را فراهم نماید.

در پایان، جدول ۶ میزان متوسط درصد بهبود روش AMIN نسبت به روش‌های مشابه در حالات مختلف شبیه‌سازی‌های انجام شده برای

جدول ۸: مقایسه در نظری همسایه  $Q_i$  برای GOP M.

عملیات	I	$B_1$	$B_2$	$P_1$	$B_3$	$B_4$	$P_2$	$B_5$	$B_6$	$P_3$	$B_7$	$B_8$
GoP_Q, M	۱	۰	۱	۱	۰	۱	۰	۱	۱	۰	۱	۱
GoP_P, M	۱	۰	۱	۰	۰	۱	۰	۱	۰	۰	۰	۱
$S_i = \text{MXoR}(\text{GoP}_Q, M, \text{GoP}_P, M)$	۰	۰	۰	۱	۰	۰	۰	۰	۱	۰	۱	۰
مقایسه با نظری $Q_i$												
GoP_Q, M	۱	۱	۱	۰	۱	۰	۱	۱	۰	۰	۱	۰
$S_r = \text{MXoR}(S_i, \text{GoP}_Q, M)$	۰	۰	۰	۱	۰	۰	۰	۰	۱	۰	۰	۰
مقایسه با نظری $Q_r$												
GoP_Q, M	۰	۱	۱	۰	۱	۱	۰	۰	۱	۱	۰	۱
$S_r = \text{MXoR}(S_i, \text{GoP}_Q, M)$	۰	۰	۰	۱	۰	۰	۰	۰	۰	۰	۰	۰

کرد. اگرچه این ممکن است نامطلوب به نظر برسد، ولی از طرف دیگر می‌تواند باعث بهبود کیفیت پخش در نظری  $P$  در صورت عدم دریافت فریم F در  $P$  از  $Q_i$  به دلایل مختلف از جمله خرابی لینک، اعوجاج، نویز و از این قبیل شود.

## ۶- نتیجه‌گیری

روش پیشنهادی این تحقیق با نام AMIN به گونه‌ای عمل می‌کند که ضمن حفظ و استفاده بهینه از پهنای باند آزاد بین نظریها، تأخیر را نیز کاهش می‌دهد. به عبارتی، برخلاف روش‌های سنتی موجود، این دریافت‌کننده BMS است که جهت کاهش تأخیر تلاش می‌کند تا فریم‌های جاافتاده همسایه‌اش (BMS) را جبران نماید به گونه‌ای که آن نظری فریم‌های تکراری نگیرد. نتایج این تحقیق را می‌توان به طور خلاصه به مواردی مانند: کیفیت بالاتری از ویدئو زنده در نظریها به دلیل پایین‌آمدن تأخیر مبادله فریم‌ها حاصل شد، کاهش تأخیر نقطه به نقطه به دلیل کاهش پهنای باند مصرفی و عدم استفاده صرف از روش Pull می‌باشد، کاهش مصرف پهنای باند به دلیل عدم ارسال فریم‌های تکراری متعدد همانند روش Push می‌باشد، برخلاف روش‌های پیشین، روش معرفی شده هیچ یک از معایب دو روش پایه را ندارد، برخلاف روش ترکیبی نیست، نیازی به تجمعی ناکارآمد دو الگوریتم پایه در قالب یک روش های اضافی مانند کدینگ شبکه که باعث ایجاد سربار اجرایی روش‌های شوند نیست، برخلاف برخی روش‌های اخیر، نیازی به شناسایی نظریهای ثابت و ماندگار در شبکه ندارد. این تحقیق استفاده از نظریهای ثابت و ماندگار در شبکه نشان داده است. بنابراین نتیجه کلی این حاظ شده مقاومت مناسبی را از خود نشان داده است. بنابراین نتیجه کلی که حاصل می‌شود این است که روش پیشنهادی این تحقیق توانسته است حداقل میزان از دست رفتگی کیفیت تصویر را در نظریهای شبکه توری فراهم آورد که این هدف اصلی تمام سیستم‌های مبتنی بر ارسال جریان زنده ویدئویی است.

## مراجع

- [1] J. Li, "On peer-to-peer (P2P) content delivery," *Peer-to-Peer Networking and Applications*, vol. 1, no. 1, pp. 45-63, 2008.
- [2] M. R. Civanlar, O. Ozkasap, and T. Celebi, "Peer-to-peer multipoint video conferencing on the internet," *Signal Processing: Image Communication*, vol. 20, no. 8, pp. 743-754, Sept. 2005.

برای مثال فریم P1 در این نظری وجود دارد، در حالی که نظری P آن را ندارد (خروجیتابع MXoR یک شده است). بنابراین این فریم به عنوان یک فریم قابل ارسال از نظری  $Q_i$  به نظری  $P$  در نظر گرفته می‌شود. همین مقایسه بین نظری  $Q_i$  با نظریهای  $Q_r$  و  $Q_r$  نیز به ترتیب در ردیفهای ۵ و ۷ جدول بر اساس تابع MXoR معرفی شده در جدول ۲ به انجام رسیده است. خروجی جدول فوق نشان می‌دهد که نظری  $Q_i$  قابلیت ارسال فریم‌های  $B_1$ ,  $B_2$ ,  $P_1$  و  $P_2$  را به نظری  $P$  دارد، ولی این نظری فقط فریم  $P_1$  را به نظری  $P$  ارسال خواهد نمود، زیرا دو فریم دیگر توسط دو نظری همسایه  $Q_i$  و  $Q_r$  که دارای اولویت بالاتری هستند به  $P$  ارسال خواهد شد. ارسال دو فریم دیگر نیز بر اساس مقایسه انجام شده بین دو نظری دیگر محقق خواهد شد. همین عملیات در همه نظریهای همسایه  $P$  به انجام می‌رسد و در نهایت نظری  $P$  بدون متضطردن از ارسال کورکرانه الگوریتم Push و تأخیر الگوریتم Pull با کمترین تأخیر و میزان بسته تکراری دریافتی ممکن فریم‌های خود را دریافت خواهد کرد.

لازم به ذکر است حتی روش Pull نیز گاهی به دلیل تأخیرهای ناشی از ارسال پیام‌های کنترلی بین نظریها ممکن است به نظریهای فریم‌های تکراری ارسال نماید. این رویه برای همه نظریهای داخل شبکه به طور مرتب به انجام می‌رسد تا زمانی که یک نظری همه فریم‌های ویدئو را پخش نماید. به طور خلاصه اگر نظری  $P$  دارای  $n$  همسایه  $Q_1, Q_2, \dots, Q_n$  باشد و نظری  $P$  کمترین میزان مشارکت (بالاترین اولویت در ارسال) را بر اساس محاسبات انجام شده مبتنی بر حجم مبادله اطلاعات صورت گرفته تا کنون به نظری  $Q_i$  داده باشد، این نظری تنها در صورت تحقق یکی از حالات زیر فریم F را از میان همه همسایگان به سمت نظری  $P$  ارسال خواهد نمود: بالاترین اولویت در ارسال را در بین نظریهای همسایه  $P$  داشته باشد، در این حالت بدون توجه به وضعیت سایر نظریها در خصوص داشتن یا نداشتن فریم F در حافظه خود، این نظری فریم را برای نظری متقاضی  $P$  ارسال خواهد نمود، بالاترین اولویت را ندارد، ولی پس از مقایسه حافظه خود با همه همسایه‌های  $P$  متوجه می‌شود که هیچ یک از آنها فریم F را ندارند. به عبارتی، نظری  $Q_i$  تنها نظری است که دارای فریم F می‌باشد.

بنابراین بدون توجه به وضعیت اولویت سایر نظریها مجبور به ارسال این فریم به نظری  $P$  است، بالاترین اولویت را ندارد ولی در BMS دریافتی از برخی یا همه نظریهای همسایه  $P$  که دارای اولویت بالاتری نسبت به آن هستند، اثری از وجود فریم F نمیدهد است. در این حالت ممکن است ( $\text{Rank}(Q_j) > \text{Rank}(Q_i)$ ) باشد و  $Q_j$  این فریم را به ارسال کرده باشد، ولی هنوز آخرین وضعیت BMS آن به نظری  $Q_i$  نرسیده است. در این حالت نظری  $P$  فرمی تکراری از F را دریافت خواهد

- [24] R. Rodriguez-Sanchez, J. L. Martinez, G. Fernandez-Escribano, J. M. Claver, and J. L. Sanchez, "Reducing complexity in H.264/AVC motion estimation by using a GPU," in *Proc. 13th IEEE Int. Workshop on Multimedia Signal Processing, MMSP'11*, 6 pp., Hangzhou, China, 17-19 Oct. 2011.
- [25] M. Wang and B. Li, "R2: random push with random network coding in live peer-to-peer streaming," *IEEE J. on Selected Areas in Communications*, vol. 25, no. 9, pp. 1655-1666, Dec. 2007.
- [26] Z. Xiangyang and H. Hassanein, "Treeclimber: a network-driven push-pull hybrid scheme for peer-to-peer video live streaming," in *Proc. IEEE 35th Conf. on Local Computer Networks, LCN'10*, pp. 368-371, Denver, CO, USA, 10-14 Oct. 2010.
- [27] M. Zhang, J. G. Luo, Z. Li, and S. Q. Yang, "A peer-to-peer network for live media streaming using a push-pull approach," in *Proc. of the 13th Annual ACM Int. Conf. on Multimedia*, pp. 287-290, Hilton, Singapore, 6-11 Nov. 2005.
- [28] F. Wang, Y. Xiong, and J. Liu, "mTreebone: a hybrid tree/mesh overlay for application-layer live video multicast," in *Proc. of IEEE 27th Int. Con. on Distributed Computing Systems , ICDCS 07*, pp. 49-49, Toronto, Canada 25-27 Jun. 2007.
- [29] J. Duhwan, H. Sumi, K. Eunsam, and L. Wonjun, "Adaptive push-pull protocols for P2P-based video streaming," *IEICE Trans. on Communications*, vol. E94-B, no. 10, pp. 2759-2762, Oct. 2011.
- [30] L. Renato, A. Russo, and D. Carra, "On some fundamental properties of P2P push/pull protocols," in *Proc. 2nd Int. Conf. on Communications and Electronics, ICCE'08*, pp. 67-73, Hoi An, Vietnam, 4-6 Jun. 2008.
- [31] A. Ghanbari, H. R. Rabiee, M. Khansari, and M. Salehi, "PPM-a hybrid push-pull mesh-based peer-to-peer live video streaming protocol," in *Proc. IEEE 21st Int. Conf. on Computer Communications and Networks*, 8 pp., Munich, Germany, 30 Jul.-2 Aug. 2012.
- [32] M. Zhang, Y. Tang, L. Zhao, J. G. Luo, and S. Q. Yang, "Gridmedia: a multi-sender based peer-to-peer multicast system for video streaming," in *Proc. Int. Conf. on Multimedia and Expo, ICME'05*, pp. 614-617, Amsterdam, Netherlands, 6-6 Jul. 2005.
- [33] A. Russo and R. Lo Cigno, "Delay-aware push/pull protocols for live video streaming in P2P systems," in *Proc. IEEE Int. Conf. on Communications, ICC'10*, 5 pp., Cape Town, South Africa, 23-27 May 2010.
- [34] H. B. T. Lan and H. S. Nguyen, "A low-delay push-pull based application layer multicast for P2P live video streaming," in *Proc. 3rd Int. Conf. on Knowledge and Systems Engineering, KSE'11*, pp. 104-111, Hanoi, Vietnam, 14-17 Oct. 2011.
- [35] Z. Li, Y. Yu, X. Hei, and D. H. K. Tsang, "Towards low-redundancy push-pull P2P live streaming," in *Proc. of the 5th International ICST Conf. on Heterogeneous Networking for Quality, Reliability, Security and Robustness*, 7 pp., HongKong, 28-31Jul. 2008.
- [36] D. Qiu and R. Srikant, "Modeling and performance analysis of BitTorrent-like peer-to-peer networks," *SIGCOMM Comput. Commun. Rev.*, vol. 34, no. 4, pp. 367-378, Oct. 2004.
- [37] S. Xie, B. Li, G. Y. Keung, and X. Zhan, "Coolstreaming: design, theory, and practice," *IEEE Trans. on Multimedia*, vol. 9, no. 8, pp. 1661-1671, Dec. 2007.
- [38] B. Li, et al., "Inside the new coolstreaming: principles, measurements and performance implications," in *Proc. the 27th IEEE Conf. on Computer Communications, INFOCOM'08*, pp. 1031-1039, Phoenix, AZ, USA, 13-18 Apr. 2008.
- [39] C. Y. Keong, P. K. Hoong, and C. Ting, "Efficient hybrid push-pull based P2P media streaming system," in *Proc. IEEE 17th Int. Conf. on Parallel and Distributed Systems*, pp. 735-740, Tainan, Taiwan, 7-9 Dec. 2011.
- [40] E. Kim, B. Kang, and C. Lee, "A hybrid push/pull streaming scheme using interval caching in P2P VOD systems," *IEICE Trans. on Information and Systems* vol. 100-D, no. 3, pp. 582-586, Mar. 2017.
- [41] S. M. Ronaghi, "A hybrid push-pull overlay network for peer-to-peer video streaming," *International J. of Peer to Peer Networks*, vol. 6, no. 1, 9 pp., Feb. 2015.
- [42] C. Lee, S. Kim, and E. Kim, "Expediting P2P video delivery through a hybrid push-pull protocol," *Advances in Electrical and Computer Engineering*, vol. 15, no. 4, pp. 3-8, Nov. 2015.
- [43] H. Ayatollahi, M. Khansari, and H. R. Rabiee, "A push-pull network coding protocol for live peer-to-peer streaming," *Computer Networks*, vol. 130, pp. 145-155, Jan. 2018.
- [44] DENACAST. DENACAST: P2P video streaming simulation framework. 2011; Available from: [http://www.omnetpp.org/omnetpp/doc\\_details/2260-denacast](http://www.omnetpp.org/omnetpp/doc_details/2260-denacast).
- [3] H. R. Ghaeini, B. Akbari, B. Barekatain, and A. Trivino-Cabrera, "Adaptive video protection in large scale peer-to-peer video streaming over mobile wireless mesh networks," *International J. of Communication Systems*, vol. 29, no. 18, pp. 2580-2603, Dec. 2015.
- [4] H. Ghaeini, B. Akbari, and B. Barekatain, "An adaptive packet loss recovery method for peer-to-peer video streaming over wireless mesh network," in *Emerging Technologies for Information Systems, Computing, and Management*, W.E. Wong and T. Ma, Editors, pp. 713-721, New York: Springer, 2013.
- [5] P. Goudarzi, "Scalable video transmission over multi-hop wireless networks with enhanced quality of experience using swarm intelligence," *Signal Processing: Image Communication*, vol. 27, no. 7, pp. 722-736, Aug. 2012.
- [6] B. Barekatain, M. Aizaini Maarof, A. Ariza Quintana, and H. R. Ghaeini, "Performance evaluation of routing protocols in live video streaming over wireless mesh networks," *Jurnal Teknologi*, vol. 62, no. 1, pp. 85-94, May 2013.
- [7] H. T. T. Tran, Y. Won, and J. Kim, "An efficient hybrid push-pull methodology for peer-to-peer video live streaming system on mobile broadcasting social media," *Multimedia Tools and Applications*, vol. 76, no. 2, pp. 2557-2568, 2017.
- [8] I. E. Richardson, *The H.264 Advanced Video Compression Standard*, 2 Ed., UK: John Wiley & Sons Ltd. p. 348, 2010.
- [9] B. Barekatain, D. Khezrimotagh, M. Maarof, H. Ghaeini, A. Quintana, and A. Cabrera, "Efficient P2P live video streaming over hybrid WMNs using random network coding," *Wireless Personal Communications*, vol. 80, no. 4, pp. 1761-1789, 2015.
- [10] A. Bikfalvi, J. Garcia-Reinoso, I. Vidal, F. Valera, and A. Azcorra, "P2P vs. IP multicast: comparing approaches to IPTV streaming based on TV channel popularity," *Computer Networks*, vol. 55, no. 6, pp. 1310-1325, Apr. 2011.
- [11] A. S. Tanenbaum, *Computer Networks* 4th ed. Computer Networks. 2008: Dorling Kindersley Pvt Ltd.
- [12] A. Passarella, "A survey on content-centric technologies for the current internet: CDN and P2P solutions," *Computer Communications*, vol. 35, no. 1, pp. 1-32, Jan. 2012.
- [13] M. Meskovic, H. Bajric, and M. Kos, "Content delivery architectures for live video streaming: hybrid CDN-P2P as the best option," in *Proc. 5th Int. Conf. on Communication Theory, Reliability, and Quality of Service*, pp. 26-32, Chamomix, France, 29 Apr.-4 May 2012.
- [14] J. A. Oliveira, F. Prado, F. M. de Lima, M. Rubinstein, and A. Sztajnberg, "Improving peer neighborhood on P2P video distribution networks using push/pull protocol," *Computer Communications*, vol. 61, Iss. C, pp. 17-33, May 2015.
- [15] B. Barekatain, D. Khezrimotagh, M. A. Maarof, A. A. Quintana, and A. T. Cabrera, "GAZELLE: an enhanced random network coding based framework for efficient P2P live video streaming over hybrid WMNs," *Wireless Personal Communications*, vol. 95, no. 3, pp. 2485-2505, 2017.
- [16] C. G. Gulrel and M. Tekalp, "Peer-to-peer system design for adaptive 3D video streaming," *IEEE Communications Magazine*, vol. 51, no. 5, pp. 108-114, May 2013.
- [17] B. Barekatain, et al., "MATIN: a random network coding based framework for high quality peer-to-peer live video streaming," *PLoS ONE*, vol. 8, no. 8, Article No.:e69844, 17 pp., Aug. 2013.
- [18] H. Kai-Lung, et al., "A novel scalable video streaming system on P2P networks," in *Proc. Int. Conf. on Computing, Networking and Communications, ICNC'13*, pp. 676-680, San Diego, CA, USA, 28-31 Jan. 2013.
- [19] X. Shen, H. Yu, J. Buford, and M. Akon, *Handbook of Peer-to-Peer Networking*, 1 ed, London: Springer, 2010.
- [20] A. Ghaffari Sheshjavani and B. Akbari, "An adaptive buffer-map exchange mechanism for pull-based peer-to-peer video-on-demand streaming systems," *Multimedia Tools and Applications*, vol. 76, no. 5, pp. 7535-7561, Mar. 2017.
- [21] A. Russo and R. L. Cigno, "Delay-aware push/pull protocols for live video streaming in P2P systems," in *Proc. IEEE Int Conf. on Communications*, 5 pp., Cape Town, South Africa, 23-27 May 2010.
- [22] T. Sanguankotchakorn and N. Krueakampli, "A hybrid pull-push protocol in hybrid CDN-P2P mesh-based architecture for live video streaming," in *Proc. 19th Asia-Pacific Network Operations and Management Symp., APNOMS'17*, pp. 187-19, Seoul, South Korea, 27-29 Sept. 2017.
- [23] T. Russo, C. Chellappan, and P. Sivasankar, "Ppssm: push/pull smooth video streaming multicast protocol design and implementation for an overlay network," *Multimedia Tools and Applications*, vol. 75, no. 24, pp. 17097-17119, Oct. 2016.

بهزاد سلیمانی نیسیانی دکتری رشته مهندسی نرم‌افزار کامپیوتر خود را از دانشگاه کاشان در سال ۱۳۹۹ دریافت نموده و هم‌اکنون به عنوان سرباز فناور در شرکت دانش‌بنیان آواز اطلاعات آریا در حال گذراندن دوره خدمت سربازی خود بر روی تشخیص ناسازگاری در پرونده‌های بیمه می‌باشد. حوزه تحقیقاتی که تا کنون در آنها پژوهش انجام داده و مقاله نیز انتشار داده است بیشتر شامل الگوریتم‌های داده‌کاوی در زمینه قواعد انجمنی، طبقه‌بندی و سیستم‌های پیشنهاددهنده بوده است. از دیگر زمینه‌های تحقیقاتی ایشان می‌توان به حوزه‌های مهندسی نرم‌افزار، هوش مصنوعی و سیستم‌های توزیع شده همانند شبکه‌های نظیر به نظری و محاسبات ابری اشاره کرد. وی هم‌اکنون مدرس موسسه آموزش عالی صنعتی فولاد نیز می‌باشد و تا کنون به بیش از ۱۰ دانشجوی کارشناسی ارشد به عنوان استاد مشاور راهنمایی داده است.

نغمه فرهادیان مدرک کارشناسی و کارشناسی ارشد خود را به ترتیب در گرایش‌های مهندسی کامپیوتر نرم افزار و شبکه‌های کامپیوتری در سال‌های ۱۳۸۱ و ۱۳۹۸ از دانشگاه آزاد اسلامی واحد نجف آباد و دولت آباد دریافت کرد. وی بیش از ۱۸ سال سابقه تدریس در حوزه کامپیوتر را داشته و زمینه‌های علاقه‌مندی وی شبکه‌های کامپیوتری می‌باشد.

بهرنگ برکتیان به ترتیب در سال ۱۹۹۶ و ۲۰۰۱ موفق به کسب مدرک کارشناسی و کارشناسی ارشد خود در مهندسی نرم افزار کامپیوتر شد. وی بیش از ۲۴ سال تجربه در زمینه شبکه‌های کامپیوتری و امنیت اطلاعات دارد. وی به مدت ۲۰ سال عضو هیأت علمی در دانشگاه آزاد اسلامی واحد نجف آباد است. وی دکترای و پسا دکترای خود را به در عرصه شبکه‌های رایانه‌ای به از ترتیب دانشگاه‌های UTM و Ryerson و کانادا دریافت کرده است. علایق تحقیقاتی وی شامل شبکه‌های سیمی و بی‌سیم، NFV، IoT، NDN، SDN، FANETs، VANETs، VANETs، امنیت شبکه‌های نظیر به نظری، کدگذاری شبکه، پخش ویدئو، امنیت شبکه و شبکه‌های بی‌سیم می‌باشد با استفاده از کدگذاری شبکه،

مجید هارونی تحصیلات خود را در مقاطع کارشناسی ارشد و دکترای مهندسی کامپیوتر را در دانشگاه تکنولوژی مالزی تحت بورسیه وزارت علوم، فناوری و نوآوری مالزی به ترتیب در سال‌های ۱۳۸۸ و ۱۳۹۲ تکمیل کرد. ایشان در حال حاضر عضو هیأت علمی دانشگاه آزاد اسلامی واحد دولت آباد و سرپرست آزمایشگاه پردازش چندرسانه‌ای ادراکی این واحد دانشگاهی است. پژوهش‌های مورد علاقه ایشان در زمینه پردازش چندرسانه‌ای ادراکی، بازناسی الگو و بینایی ماشین و یادگیری عمیق است.